

## Nouveaux genres et espèces de la tribu des Acratini (Coleoptera, Brentidae)

par Antoine MANTILLERI

Muséum national d'Histoire naturelle, Entomologie, C. P. 50, 57 rue Cuvier, F – 75213 Paris cedex 05  
<amantill@mnhn.fr>

**Résumé.** – Sur la base d'une analyse phylogénétique des caractères morphologiques externes et internes (et particulièrement des sclérites du sac interne de l'édéage) de 29 Acratini, trois nouveaux genres sont décrits dans cette tribu néotropicale : *Rugosacratus* n. gen. (espèce-type *Acratus chontalensis* Sharp, 1895), *Teramoceroides* n. gen. (espèce-type *Belorhynchus gracilis* Boheman, 1833) et *Parateramocerus* n. gen. (espèce-type *Proteramocerus goianus* Soares & Dias, 1971). La création de ces nouvelles coupes génériques entraîne les nouvelles combinaisons suivantes : *Rugosacratus punctirostris* (Boheman, 1840), n. comb., *R. chontalensis* (Sharp, 1895), n. comb., *Teramoceroides gracilis* (Boheman, 1833), n. comb., *T. belti* (Sharp, 1895), n. comb., *T. mamillatus* (Meyer, 1959), n. comb., et *Parateramocerus goianus* (Soares & Dias, 1971), n. comb. Trois nouvelles espèces sont décrites : *Rugosacratus eximius* n. sp. de Guyane française, Brésil, Équateur et Pérou, *Teramocerus asklerosis* n. sp. de Guyane française et Brésil, et *T. rileyi* n. sp. du Panama. La répartition des espèces est précisée et discutée. *Teramoceroides belti* est nouvellement cité de Colombie et du Panama ; *T. mamillatus* est nouvellement cité de Guyane française ; *Rugosacratus punctirostris* est nouveau pour la Colombie, la Guyane française et le Venezuela ; *Teramocerus pulcher* (Soares & Dias, 1971) est nouveau pour la Guyane française.

**Abstract.** – New genera and species of the tribe Acratini (Coleoptera, Brentidae). On the basis of the phylogenetic analysis of external and internal morphological characters of 29 Acratini (with special attention given to sclerites of the internal sac of aedeagus), three new genera are described in this neotropical tribe: *Rugosacratus* n. gen. (type species *Acratus chontalensis* Sharp, 1895), *Teramoceroides* n. gen. (type species *Belorhynchus gracilis* Boheman, 1833), and *Parateramocerus* n. gen. (type species *Proteramocerus goianus* Soares & Dias, 1971). The creation of those new generic divisions leads to the following new combinations: *Rugosacratus punctirostris* (Boheman, 1840), n. comb., *R. chontalensis* (Sharp, 1895), n. comb., *Teramoceroides gracilis* (Boheman, 1833), n. comb., *T. belti* (Sharp, 1895), n. comb., *T. mamillatus* (Meyer, 1959), n. comb., and *Parateramocerus goianus* (Soares & Dias, 1971), n. comb. Three new species are described: *Rugosacratus eximius* n. sp. from French Guiana, Brazil, Ecuador and Peru, *Teramocerus asklerosis* n. sp. from French Guiana and Brazil, and *T. rileyi* n. sp. from Panama. The distribution of the species is updated and discussed. *Teramoceroides belti* is newly recorded from Colombia and Panama; *T. mamillatus* is newly recorded from French Guiana; *Rugosacratus punctirostris* is new for Colombia, French Guiana and Venezuela; *Teramocerus pulcher* (Soares & Dias, 1971) is newly recorded from French Guiana.

**Keywords.** – Neotropical region, Curculionioidea, cladistics, morphology, taxonomy.

---

Les Acratini Alonso-Zarazaga, Lyal, Sforzi & Bartolozzi, 1999, forment un groupe de Brentidae néotropicaux comprenant plus de 100 espèces, la plupart nécessitant d'être réexaminées. Au niveau générique, une redéfinition des groupes doit être effectuée sur la base d'analyses phylogénétiques, le concept de la plupart des genres n'étant pas clair : attribuer des spécimens aux diverses coupes génériques existantes est presque impossible. Suite à la révision du genre *Teramocerus* Schoenherr, 1840, par MANTILLERI (2015), les deux genres nominaux les plus importants en nombre d'espèces, *Acratus* Lacordaire, 1865, et *Proteramocerus* Kleine, 1921, ont été mis en synonymie avec *Teramocerus*, la plupart des espèces ayant été exclues de ce dernier genre. Dès lors, il devenait nécessaire de créer de nouvelles coupes afin d'y inclure ces taxa. Une des premières questions émanant de cette révision a été la place des espèces auparavant incluses dans *Teramocerus* et pour lesquelles il a été montré qu'elles ne faisaient pas partie de ce clade, à savoir *T. gracilis* (Boheman, 1833), *T. punctirostris* Schoenherr, 1840, *T. belti* Sharp, 1895, et *T. mamillatus* Meyer, 1959. La même question s'est posée pour *Proteramo-*

*cerus chontalensis* (Sharp, 1895) et *P. goianus* (Soares & Dias, 1971) (ainsi que pour trois autres espèces inédites d'habitus proche de celui des espèces du genre *Teramocerus*) dont la position systématique n'avait pas été testée par MANTILLERI (2015).

Cet article propose donc de définir de nouvelles coupes génériques dans la tribu des Acratini et de vérifier la validité de ces genres par une analyse phylogénétique de caractères morphologiques des adultes. Trois espèces nouvelles sont aussi décrites.

#### MATÉRIEL ET MÉTHODES

Les spécimens-types de tous les taxa cités ont été examinés et disséqués. Les genitalia ont été montés dans l'Euparal® entre lame et lamelle, après coloration au noir chlorazol (CARAYON, 1969). Ce montage permet une observation aisée des caractères présentés par l'appareil génital des mâles et des femelles, et en particulier des sclérites du sac interne de l'édeage des mâles dont l'utilité dans la systématique des Acratini a été montrée par MANTILLERI (2015).

Les mesures ont été prises en utilisant une loupe binoculaire SMZ1000 associée à un oculaire micrométrique gradué.

L'analyse phylogénétique a été effectuée en utilisant 29 Acratini, le groupe externe consistant en une espèce du genre *Nemocephalus* Guérin-Méneville, 1827, récemment exclu des Acratini (MANTILLERI, 2014a). Le tableau I présente la matrice utilisée pour le traitement informatique du jeu de données par le logiciel PAUP 4b10 (SWOFFORD, 2001). Les caractères à état multiple n'ont pas été ordonnés. Une première recherche heuristique de l'arbre le plus parcimonieux est menée en donnant le même poids à tous les caractères, ceux-ci étant polarisés en utilisant la méthode de comparaison avec un groupe externe (WATROUS & WHEELER, 1981). Lorsque cette recherche est achevée, les caractères sont pondérés selon leur valeur de RC (Rescaled Consistency Index) et une nouvelle recherche heuristique est effectuée afin d'améliorer la résolution de l'arbre phylogénétique (KJER *et al.*, 2007). Les poids donnés à chaque caractère sont résumés dans le tableau II. Les valeurs de soutien des nœuds ont alors été calculées en utilisant la méthode du *bootstrap* ; 500 réplifications ont été réalisées.

**Abréviations utilisées.** – CAF, collection Arnaud Faille, Saint-Maur-des-Fossés ; CAM, collection Antoine Mantilleri, Paris ; CMNC, Canadian Museum of Nature, Ottawa, Canada (Dr Robert Anderson et François Génier) ; INBio, Instituto Nacional de Biodiversidad, Santa Rosa de Santo Domingo, Costa Rica (Dr Angel Solis) ; MNHN, Muséum national d'Histoire naturelle, Paris ; MNRJ, Museu Nacional, Universidade Federal do Rio de Janeiro, Brésil (Dr Marcela L. Monné) ; MPEG, Museu Paraense Emilio Goeldi, Belém, Pará, Brésil (Dr Orlando Tobias Silveira) ; MZSP, Museu de Zoologia da Universidade de São Paulo, Brésil (Dr Cleide Costa) ; MZUF, Museo di Storia Naturale, Sezione di Zoologia "La Specola", Florence, Italie (Dr Luca Bartolozzi) ; NHM, The Natural History Museum, Londres, Royaume-Uni (Dr Maxwell Barclay) ; NHRS, Naturhistoriska Riksmuseet, Stockholm, Suède (Dr Johannes Bergsten) ; TAMU, Texas A&M University, College Station, États-Unis (Dr Edward G. Riley) ; UFMT, Universidade Federal de Mato Grosso, Cuiabá, Brésil (Dr Fernando Vaz-de-Mello).

Dans le texte, le sigle MNHN-EC se rapporte aux numéros d'inventaire des spécimens-types de Coléoptères conservés au MNHN. L'accès aux données et aux photographies relatives à ces spécimens est possible en utilisant le lien <http://science.mnhn.fr/institution/mnhn/search>.

#### SYSTÉMATIQUE

##### Genre *Rugosacratius* n. gen.

Espèce-type : *Acratus chontalensis* Sharp, 1895.

**Diagnose.** – Tête non sillonnée, non ou faiblement ponctuée, à nombreuses rides transverses bien visibles (surtout chez le mâle). Constriction collaire peu nette, progressive. Côtés de la tête sans ou avec seulement quelques rares pores sensoriels. Dessous de la tête à suture

gulaire assez peu marquée, sans pores sensoriels en arrière de la fovéole post-oculaire médiane. Dessous du métarostre avec deux rangées de pores sensoriels atteignant le mésorostre. Tous les articles antennaires bien plus longs que larges, les segments 2-8 nettement élargis à l'apex ; 9-10 subcylindriques à ovoïdes, un peu rétrécis à la base. Pronotum allongé, microréticulé, profondément sillonné longitudinalement, non ponctué, ridulé en avant et en arrière. Scutellum non fovéolé, ne remontant pas entre les élytres à son apex. Élytres à base non abrupte, sans trou ni dépression à la base au niveau de l'insertion sur le mésonotum. Prosternellum bien distinct. Mésothorax à grosses ponctuations latérales ; mésanépisternes et mésépimères grossièrement ponctués. Fémurs pédonculés. Premier article tarsal beaucoup plus long que large, plus long que les deux suivants réunis ; protarses plus allongés que les mésotarses, eux-mêmes plus allongés que les métatarses (voir fig. 75-76 et 91-92) ; articles 2 et 3 fortement impressionnés sur le dessus. Abdomen allongé, les sternites III-IV non déprimés ni sillonnés, ponctués sur les côtés. Tergites membraneux clairs.

**Mâles.** Prorostre court, élargi à l'apex, échancré à l'apex au milieu. Métarostre nettement caréné sur les côtés, de section carrée. Tempes très allongées, entre deux et cinq fois plus longues que les yeux. Côtés de la tête subparallèles en arrière des yeux. Dessous du prorostre avec une carène longitudinale médiane plus ou moins marquée. Sternite VII ponctué, pubescent. Témones aussi longs ou un peu plus longs que la partie distale du pénis.

**Femelles.** Prorostre cylindrique, lisse. Tempes allongées, plus longues que les yeux. Côtés du métarostre avec des pores sensoriels. Dessous du métarostre avec deux rangées de pores sensoriels séparées par une zone lisse non élevée. Sternite VII non pubescent.

**Remarque.** – Ce genre, répandu dans une grande partie de la région néotropicale continentale, contient actuellement trois espèces qui peuvent se différencier comme suit.

1. Article 9 des antennes plus de 1,5× plus long que le 8 ; chaque élytre avec une bande longitudinale jaune orangé sur l'interstrie 3 (fig. 5-7) ..... **Rugosacratus punctirostris** (Boheman)
- Article 9 des antennes moins de 1,5× plus long que le 8 ; élytres sans bande longitudinale jaune orangé .... 2
2. Élytres à grosses ponctuations sur l'interstrie 3 et les suivants, ces ponctuations d'un vert métallique vif (fig. 1-2) ..... **R. eximius** n. sp.
- Élytres à ponctuations bien marquées mais moins fortes, leur fond parfois un peu irisé mais jamais d'un vert métallique vif (fig. 3-4) ..... **R. chontalensis** (Sharp)

### ***Rugosacratus chontalensis* (Sharp, 1895), n. comb.**

*Acratus chontalensis* Sharp, 1895 : 76 ; SCHÖNFELDT, 1910 : 42.

*Proteramocerus chontalensis* (Sharp) ; KLEINE, 1921 : 129 ; KLEINE, 1927b : 55 ; KLEINE, 1927c : 293 ; KLEINE, 1938 : 127 ; BLACKWELDER, 1947 : 774 ; KLEINE, 1952 : 60 ; SFORZI & BARTOLOZZI, 2004 : 583.

**Types.** – LECTOTYPE : ♂, “Chontales, Nicaragua, T. Belt ; prép. micro. n°AM-NHM00019” (NHM). Désigné par SFORZI & BARTOLOZZI (2004). PARALECTOTYPE : 1 ♀, “Chontales, Janson ; prép. micro. n°AM-NHM00020” (NHM).

**Matériel examiné.** – **Costa Rica.** 1 ♂, Puntarenas, Res. Biol. Carara, Estac. Quebrada Bonita [9°50'N - 84°58'O], 50 m, VI.1991, *R. Zuniga*, prép. micro. n°AM-CMNC 00006 (CMNC) ; 1 ♂, *idem*, X.1993, *J. C. Saborio*, prép. micro. n°AM-INBIO 00004 (INBio) ; 1 ♀, *idem*, X.1994, *J. C. Saborio* (INBio) ; 1 ♂, prov. Limón, Valle de la Estrella, Hitoy Cerere [9°38'N - 83°01'O], 560 m, 18-20.IX.2003, *W. Arana* (INBio). **Nicaragua.** ♂ lectotype et ♀ paralectotype (NHM).

**Description des mâles.** – Habitus : fig. 3. Longueur de l'extrémité du rostre à l'apex des élytres : 20,0-44,5 mm ; longueur de l'extrémité des élytres à l'apex du pronotum : 12,1-23,9 mm ; largeur au niveau des calus huméraux : 1,7-3,2 mm. Brun-rouge plus ou moins foncé ; sillon et côtés du pronotum, ainsi que suture élytrale et pattes, plus sombres ; élytres parfois avec des irisations verdâtres au niveau des stries.

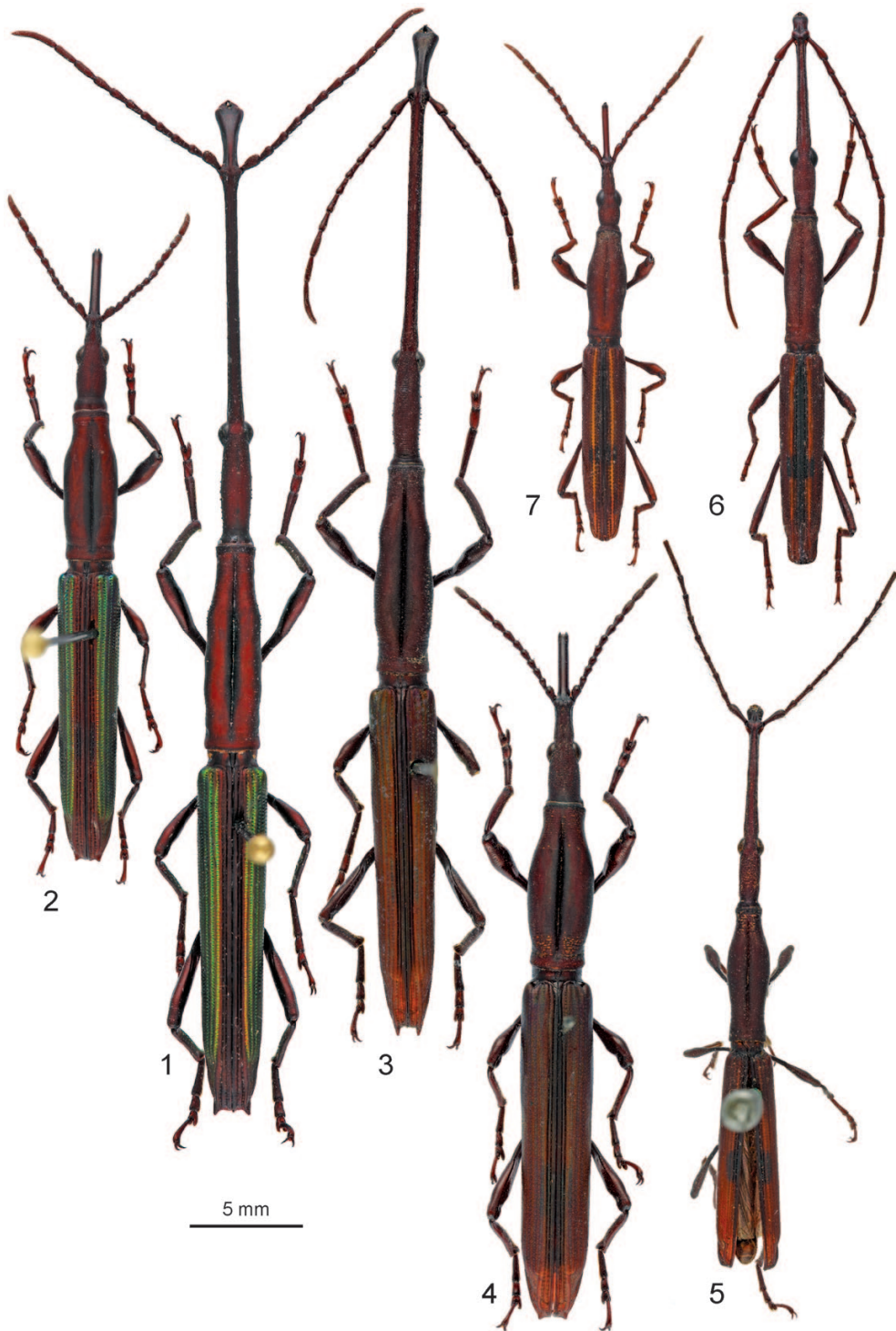


Fig. 1-7. – *Rugosacratus* spp., habitus. – 1-2, *R. eximius* n. sp. : 1, ♂ holotype ; 2, ♀ paratype. – 3-4, *R. chontalensis* (Sharp) : 3, ♂ lectotype ; 4, ♀ paralectotype. – 5-7, *R. punctirostris* (Schoenherr) : 5, ♂ lectotype ; 6, ♂ ; 7, ♀.

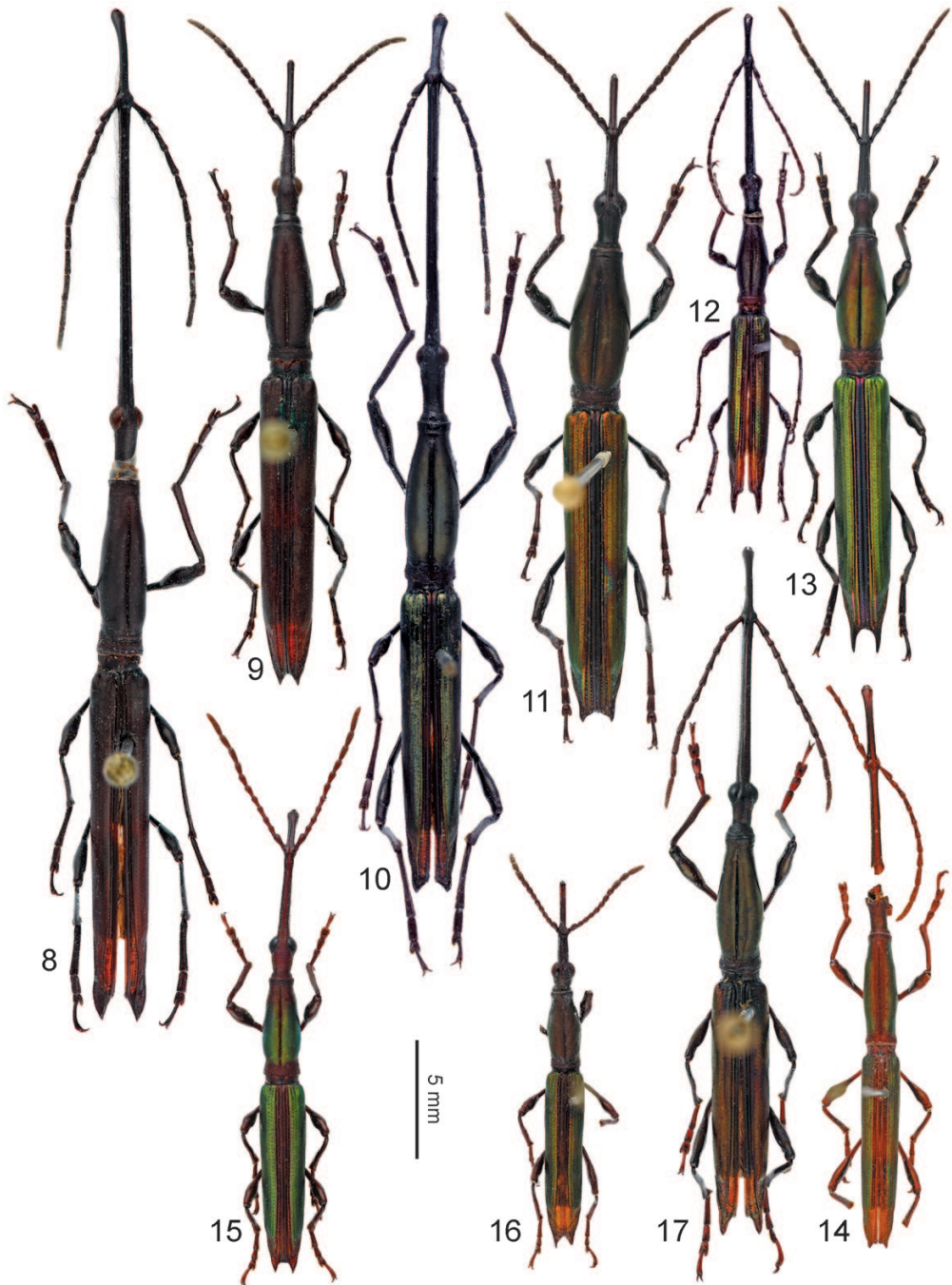


Fig. 8-17. – Acratini, habitus. – 8-9, *Teramoceroïdes gracilis* (Boheman) : 8, ♂ ; 9, ♀ lectotype de *Teramocerus exilis* Boheman. – 10-11, *Teramoceroïdes belti* (Sharp) : 10, ♂ paralectotype ; 11, ♀. – 12-13, *Teramoceroïdes mamillatus* (Meyer) : 12, ♂ holotype ; 13, ♀. – 14, *Parateramocerus goianus* (Soares & Dias), ♂ holotype. – 15, *Teramocerus asklerosis* n. sp., ♂ holotype. – 16, *Teramocerus eletus* Kleine, ♀ allotype de *Proteramocerus oliveirai* Soares & Dias. – 17, *Teramocerus rileyi* n. sp., ♂ holotype.

*Tête* (fig. 68-70). Prorostre non sillonné, caréné sur les côtés à la base, finement ponctué, échancré et élargi à l'apex (caractère plus visible chez les grands spécimens), égal à  $0,2-0,3\times$  la longueur du métarostre et du mésorostre réunis. Mésorostre faiblement élevé, légèrement sillonné au milieu. Métarostre non ponctué, avec une légère carène longitudinale médiane. Yeux saillants. Fovéole interoculaire distincte. Côtés et dessous de la tête sans pores sensoriels mais avec de nombreux petits tubercules saillants ; suture gulaire assez peu visible, se terminant en avant par une faible fovéole post-oculaire médiane. Côtés du métarostre avec quelques pores sensoriels. Dessous du métarostre avec une carène longitudinale médiane et, de part et d'autre de celle-ci, une rangée de pores sensoriels pubescents atteignant tout juste le mésorostre ; carène médiane se poursuivant en avant jusqu'à l'apex du prorostre. Antennes (fig. 71) à articles modérément pubescents, tous nettement plus longs que larges, les segments 2-8 bien distinctement élargis à l'apex ; articles 9-10 subcylindriques avec un net rétrécissement basal, le 9<sup>e</sup>  $1,4\times$  plus long que le 8<sup>e</sup> ; le 11<sup>e</sup>  $1,7\times$  plus long que le 9<sup>e</sup>, un peu courbé.

*Thorax*. Pronotum  $2,8-3,5\times$  plus long que large, à côtés subparallèles avec, chez les plus grands spécimens, des tubercules latéraux semblables à ceux portés par la tête. Élytres un peu déprimés à la base au niveau de l'interstrie 5. Stries 1 et 2 bien marquées, la 2<sup>e</sup> présente à la base sous forme de ponctuations bien nettes ; stries 3-8 bien distinctes, formées de fortes ponctuations alignées. Apex des élytres (fig. 72-73) en courte pointe formée par les interstries 3 et 11, l'interstrie 3 élargi et élevé sur la déclivité apicale. Interstrie 1 bien marqué, le 2<sup>e</sup> plus étroit et un peu déprimé. Face inférieure de l'apex élytral avec de courtes soies très denses non visibles en vue dorsale. Prothorax glabre, à suture prosternale bien marquée, ponctué en avant des procoxae assez saillantes. Métathorax légèrement ponctué sur les côtés en arrière, un peu déprimé longitudinalement en avant des métacoxae. Métanépisternes avec une ligne de ponctuations assez nettes. Trochanters et fémurs sans longues soies raides, sauf aux pattes postérieures. Fémurs pédonculés, les métafémurs (fig. 74) aplatis en lame à la base. Profémurs légèrement impressionnés longitudinalement à la base du côté externe. Tibias allongés, pubescents sur leur arête interne. Deuxième article tarsal plus long que large (à peine plus long que large aux pattes postérieures, cf. fig. 76).

*Abdomen* (fig. 77) allongé, les sternites III-IV ponctués sur les côtés ; sternites V-VI avec quelques rares ponctuations ; sternite VII grossièrement ponctué. Sternites VIII et IX : fig. 20. Tegmen (fig. 19) à lobes paraméroïdes courts, progressivement rétrécis, avec quelques courtes soies apicales. Pénis (fig. 18) arrondi à plat à l'apex, les témones aussi longs ou un peu plus longs que la partie distale ; sac interne sans sclérifications ; frena bien développés.

**Description des femelles.** – Habitus : fig. 4. Longueur de l'extrémité du rostre à l'apex des élytres : 30,0-34,5 mm ; longueur de l'extrémité des élytres à l'apex du pronotum : 22,3-25,7 mm ; largeur au niveau des calus huméraux : 3,3-3,8 mm. Coloration semblable à celle des mâles.

*Tête* (fig. 78-80). Prorostre cylindrique, lisse,  $1,4-1,7\times$  plus long que le mésorostre et le métarostre réunis. Mésorostre comme chez le mâle. Métarostre massif, non caréné, légèrement ponctué, sans sillons paramédians. Tête finement ponctuée, fovéolée entre les yeux. Dessous de la tête ridulé. Dessous du métarostre avec deux zones longitudinales de pores sensoriels atteignant le mésorostre, séparées par un espace lisse. Dessous du prorostre avec une fine ligne longitudinale médiane. Antennes (fig. 81) à articles modérément pubescents, les articles 9-10 un peu ovoïdes avec un net rétrécissement basal, le 9<sup>e</sup>  $1,2\times$  plus long que le 8<sup>e</sup> ; le 11<sup>e</sup>  $1,4\times$  plus long que le 9<sup>e</sup>.

*Thorax*. Pronotum  $2,4-2,5\times$  plus long que large. Scutellum comme chez le mâle. Élytres comme chez le mâle mais l'apex tronqué (fig. 82-83), sans dent saillante. Pro-, méso- et métathorax comme chez le mâle, mais le métathorax moins déprimé, juste fovéolé en avant des métacoxae. Pattes semblables à celles du mâle mais beaucoup moins allongées, les métafémurs non aplatis en lame à la base.

*Abdomen* similaire à celui du mâle, moins allongé. Tergite VIII (fig. 47) avec généralement 7 dents assez grandes. Épipleurites VIII : fig. 45. Coxites (fig. 46) à base épaissie et ridulée (fig. 46, agrandissement) ; spermathèque (fig. 61) sans constriction basales.

**Répartition.** – Costa Rica, Nicaragua (fig. 151). Je n'ai pas pu confirmer les citations de Bolivie, Brésil et Pérou (KLEINE, 1927c ; SOARES & DIAS, 1971 ; SFORZI & BARTOLOZZI, 2004). Celles-ci me semblent peu probables, *R. chontalensis* étant, d'après mes observations, une espèce présente uniquement en Amérique centrale. Ces données plus méridionales concernent vraisemblablement la nouvelle espèce décrite ci-après.

**Rugosacratus eximius n. sp.**

**HOLOTYPE** : ♂, Guyane française, montagne des Chevaux [4°44'32"N - 52°25'53"O], 27.IX.2014, *P.-H. Dalens & E. Poirier leg.* ; ex-collection A. Mantilleri (MNHN EC4837).

**PARATYPES** : 1 ♂, *idem* holotype, 4.II.2013 (MZUF) ; 1 ♂, *idem*, 16.II.2013 (CAM) ; 1 ♂, *idem*, 24.II.2013 (CAM) ; 1 ♀, *idem*, 13.IV.2013, piège-vitre, *P.-H. Dalens leg.* (CAM) ; 1 ♂, *idem*, 8.VI.2013 (CAM) ; 1 ♂, *idem*, 11.I.2014, GemLight (CAM) ; 1 ♂, *idem*, 27.IV.2014 (CAM) ; 1 ♀, *idem*, 3.V.2014 (MNHN EC4838) ; 1 ♂, *idem*, 17.V.2014 (CAM) ; 1 ♂, *idem*, 31.V.2014 (CAM) ; 1 ♀, *idem*, 2.VIII.2014, piège-vitre (CAM) ; 1 ♂ et 1 ♀, Guyane française, massif du Mitaraka, ca. 2°14'N - 54°27'O, 25.II-26.III.2015, La Planète Revisitée – MNHN / PNI Guyane 2015 (APA-973-1) (MNHN EC6721, 6722) ; 1 ♀, Guyane française, collection C. Bar, Muséum Paris 1952 coll. R. Oberthür (MNHN).

**Autre matériel examiné.** – **Brésil.** 2 ♂, Amazones, Sto Paulo d'Oliveira [3°27'S - 68°56'O], *Hahnel* (MNHN) ; 1 ♂, Amazones, Obydos [1°53'S - 55°31'O], ex musaeo H. W. Bates (MNHN). **Colombie.** 1 ♀, Nariño Amazonica, 1-10.XI.1995, *Mraček* (MZUF). **Équateur.** 1 ♂ et 2 ♀, Loja [4°00'S - 79°12'O], *Abbé Gaujon* (MNHN). **Pérou.** 2 ♂, Juanjui [7°11'S - 76°44'O] (MNHN) ; 2 ♂ et 2 ♀, Pérou, Huambo [9°39'S - 74°56'O], 1.X-31.XII.1889, *M. de Mathan*, prép. micro. n°AM00344 (MNHN) ; 2 ♂, Chanchamayo, *Thamin* (MNHN) ; 1 ♂, *idem*, *Ch. O. Schunke*, prép. micro. n°AM00193 (MNHN) ; 2 ♂ et 2 ♀, Amazones, Pérou, Cavallo-Cocho [3°55'S - 70°31'O], V-VII.1884, *M. de Mathan*, prép. micro. n°AM00351 (MNHN) ; 2 ♂ et 1 ♀, Amazones, Tarapote [6°29'S - 76°21'O], 1.X-31.XII.1885, *M. de Mathan* (MNHN) ; 1 ♂ et 1 ♀, Pebas, Amaz. [3°19'S - 71°52'O], ex musaeo H. W. Bates (MNHN) ; 5 ♂, Pérou, environs de Satipo [11°15'S - 74°38'O], III.2005 (MNHN).

**Description des mâles.** – Habitus : fig. 1. Longueur de l'extrémité du rostre à l'apex des élytres : 18,1-47,3 mm ; longueur de l'extrémité des élytres à l'apex du pronotum : 11,3-27,3 mm ; largeur au niveau des calus huméraux : 1,6-3,3 mm. Brun-rouge plus ou moins foncé ; sillon et côtés du pronotum plus sombres ; élytres à forts reflets vert métallique, particulièrement dans le fond des punctuations.

**Tête.** Prorostre comme chez *R. chontalensis*, égal à 0,2-0,4× la longueur du métarostre et du mésorostre réunis. Mésorostre et métarostre comme chez *R. chontalensis*. Yeux saillants. Fovéole interoculaire à peine distincte. Côtés et dessous de la tête et du métarostre comme chez *R. chontalensis*. Antennes à articles modérément pubescents, tous nettement plus longs que larges, les segments 2-8 bien distinctement élargis à l'apex ; articles 9-10 subcylindriques avec un net rétrécissement basal, le 9<sup>e</sup> 1,2-1,3× plus long que le 8<sup>e</sup> ; le 11<sup>e</sup> 1,7-1,8× plus long que le 9<sup>e</sup>, un peu courbé.

**Thorax.** Pronotum comme chez *R. chontalensis*, 2,6-3,2× plus long que large. Élytres comme chez *R. chontalensis*, les stries 3-8 formées de très fortes punctuations alignées à fond présentant de forts reflets habituellement vert métallique. Thorax et pattes comme chez *R. chontalensis*.

**Abdomen** à sternites III-VII comme chez *R. chontalensis*. Sternites VIII et IX : fig. 23. Tegmen (fig. 22) à lobes paraméroïdes courts, progressivement rétrécis, avec quelques courtes soies apicales. Pénis (fig. 21) arrondi à plat à l'apex, les témones aussi longs ou un peu plus longs que la partie distale ; sac interne sans sclérisations ; frena bien développés.

**Description des femelles.** – Habitus : fig. 2. Longueur de l'extrémité du rostre à l'apex des élytres : 20,2-29,0 mm ; longueur de l'extrémité des élytres à l'apex du pronotum : 14,3-21,5 mm ; largeur au niveau des calus huméraux : 2,0-2,9 mm. Coloration semblable à celle des mâles.

**Tête.** Prorostre 1,6-2,9× plus long que le mésorostre et le métarostre réunis. Mésorostre comme chez le mâle. Métarostre massif, non caréné, légèrement ponctué, souvent avec un large sillon médian, sans sillons paramédians. Tête finement ponctué, indistinctement fovéolée entre les yeux. Côtés de la tête avec quelques très rares punctuations en arrière des yeux. Dessous de la tête ridulé. Dessous du métarostre avec deux zones longitudinales de pores sensoriels atteignant le mésorostre, séparées par un espace lisse. Dessous du prorostre avec une fine ligne longitudinale médiane. Antennes à articles modérément pubescents, les articles 9-10 un peu ovoïdes avec un net rétrécissement basal, le 9<sup>e</sup> 1,3× plus long que le 8<sup>e</sup> ; 11<sup>e</sup> 1,3-1,6× plus long que le 9<sup>e</sup>.

*Thorax*. Pronotum 2,5-2,6× plus long que large. Scutellum comme chez le mâle. Élytres comme chez le mâle mais l'apex tronqué, sans dent saillante. Pro-, méso- et métathorax semblables à ceux du mâle, mais le métathorax moins déprimé, juste fovéolé en avant des métacoxae. Pattes semblables à celles du mâle mais beaucoup moins allongées, les métafémurs non aplatis en lame à la base.

*Abdomen* semblable à celui du mâle, moins allongé. Tergite VIII : fig. 48. Épipleurites VIII et coxites semblables à ceux de *R. chontalensis* ; spermathèque (fig. 62) sans constriction basales.

**Répartition.** – Brésil, Colombie, Équateur, Guyane française, Pérou (fig. 151). À ces pays, pour lesquels j'ai pu examiner directement des spécimens, il faut probablement ajouter la Bolivie (voir ci-dessus les remarques concernant la répartition de *R. chontalensis*). *R. eximius* n. sp. est probablement présent dans une très grande partie du bassin Amazonien.

**Remarque.** – Très proche de *R. chontalensis*, *R. eximius* n. sp. s'en distingue par ses élytres à très grosses ponctuations présentant un fort reflet vert métallique. Les genitalia sont semblables ; il est donc possible que *R. eximius* n. sp. ne soit qu'une sous-espèce méridionale de *R. chontalensis*. Une meilleure connaissance de l'aire de répartition de ces deux taxa est nécessaire afin de pouvoir préciser leur statut taxonomique.

*R. eximius* n. sp. pourrait être synonyme du taxon décrit par KLEINE (1921) sous le nom de *Proteramocerus nitidus* Kleine, 1921. Plusieurs caractères plaident en effet pour un tel rapprochement, en particulier le prothorax de couleur brun-rouge, les élytres vert-de-gris à forte ponctuation formant une "grille" et les angles postérieurs des élytres en pointe mousse. Mais l'absence de sillon abdominal chez la nouvelle espèce et le fait que KLEINE (1921) ne mentionne aucunement la présence de rides et de pustules sur les côtés de la tête et du pronotum, caractère pourtant remarquable, laisse planer un doute qui ne pourra être levé qu'après consultation de la série typique. Malgré mes demandes répétées durant ces dernières années, il m'a été impossible d'avoir accès à celle-ci, déposée au Musée de Dresde mais en prêt depuis très longtemps chez M. Wolfgang Schiller.

### ***Rugosacratus punctirostris* (Boheman, 1840), n. comb.**

*Teramocerus punctirostris* Boheman in SCHOENHERR, 1840 : 566 ; BLACKWELDER, 1947 : 774 ; SFORZI & BARTOLOZZI, 2004 : 590.

**Types.** – LECTOTYPE (fig. 5) (**présente désignation**) : ♂, "Brasilia, Fahraeus, typus, NHRS-JLKB 000020292" (NHRS). PARALECTOTYPE : 1 ♀, "Brasilia, Fahraeus, allotypus, NHRS-JLKB 000020293" (NHRS).

**Matériel examiné.** – **Sans localité.** 1 ♀, Amér. Sud, Mniszech (MNHN) ; 1 ♂, *idem*, prép. micro. n°AM00191 (MNHN). **Brésil.** 1 ♂, Amazone, Chevrolat (MNHN) ; 1 ♂, Brésil, coll. A. Sicard (MNHN) ; 5 ♂ et 2 ♀, Barro Preto [14°48'S - 39°28'O], *Ch. Pujol*, prép. micro. n°AM00179 et AM00352 (MNHN) ; 3 ♂ et 4 ♀, Amazonas, Obydos [1°53'S - 55°31'O] (MNHN) ; 2 ♂ et 1 ♀, Teffé (Ega) [3°21'S - 64°43'O], Amazonas, I.I.1879-31.III.1879, *M. de Mathan*, prép. micro. n°AM00181 (MNHN) ; 1 ♀, *idem*, I.X.1878-31.III.1879 (MNHN) ; 1 ♂, Ega, ex musaeo H. W. Bates (MNHN) ; 1 ♀, Amaz., *H. W. Bates*, prép. micro. n°AM00180 (MNHN) ; 1 ♂ et 2 ♀, Itaituba [4°20'S - 56°00'O], Amazonas, *Hahnel* (MNHN) ; 1 ♂, Amazonas, *Hahnel*, prép. micro. n°AM00190 (MNHN) ; 1 ♀, Goyaz, coll. E. Gounelle 1915 (MNHN) ; 1 ♂, ♂, Jatahy [17°53'S - 51°43'O], État de Goyaz, *Ch. Pujol*, 1895-96 (MNHN) ; 1 ♂, Espírito Santo, Santa Leopoldina [20°06'S - 40°32'O], ex musaeo Desbrochers (MNHN) ; 1 ♂, Espírito Santo, Venda Nova do Imigrante [20°20'S - 41°08'O], II.2005, *F. Vaz-de-Mello* (MNHN) ; 1 ♂, Mato Grosso, Barra do Bugre [15°04'S - 57°11'O], 12.XI.1983, *A. Garcia* (UFMT) ; 1 ♂, Et. de São Paulo, Ribeirão Pires [23°43'S - 46°25'O], XI.1898, *E. Gounelle* (MNHN) ; 1 ♂, Trinitade [16°39'S - 49°29'O] (MNHN) ; 1 ♂, Cachimbo [9°42'S - 38°34'O], Prov. de Bahia, *Ch. Pujol*, 1890 (MNHN) ; 1 ♂, Pery Pery, Pernambuco [8°05'S - 35°22'O], coll. E. Gounelle 1915 (MNHN) ; 1 ♀, Serra de Baturite (Céara) [4°12'S - 38°56'O], *E. Gounelle*, I.1895 (MNHN) ; 1 ♀, Pará, Benevides [1°22'S - 48°15'O], II.1895, *E. Gounelle* (MNHN). **Colombie.** 1 ♂, ex coll. Sallé (MNHN) ; 1 ♀, Amazonas, Leticia [4°12'S - 69°56'O], 23.II-27.III.1974, *H. & A. Howden* (CMNC). **Guyane française.** 1 ♀, montagne

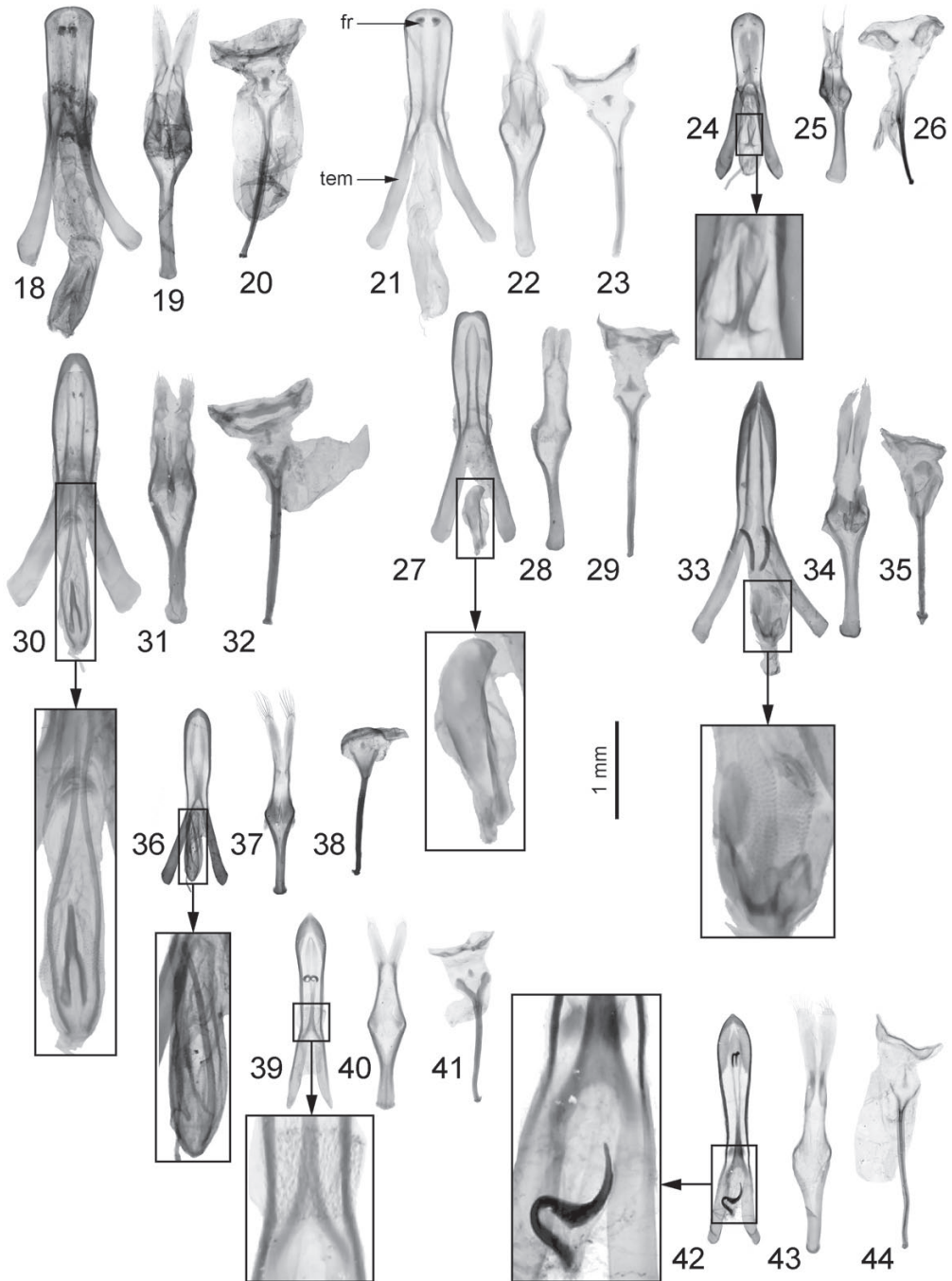


Fig. 18-44. – Acratini, genitalia des mâles (de gauche à droite : pénis avec agrandissement éventuel de la partie proximale du sac interne, tegmen, sternites VII-VIII). – 18-20, *Rugosacratus chontalensis* (Sharp), lectotype. – 21-23, *R. eximius* n. sp. – 24-26, *R. punctirostris* (Schoenherr). – 27-29, *Teramoceroideus gracilis* (Boheman). – 30-32, *T. belti* (Sharp). – 33-35, *T. mamillatus* (Meyer), holotype. – 36-38, *Parateramocerus goianus* (Soares & Dias), holotype. – 39-41, *Teramocerus asklerosis* n. sp., holotype – 42-44, *T. rileyi* n. sp., holotype. (*fr*, frena ; *tem*, témone).

des Chevaux [4°44'32"N - 52°25'53"O], 23.II.2009, S. Brûlé, P.-H. Dalens & E. Poirier leg. (CAM); 1 ♀, *idem*, 18.IV.2009 (CAM); 1 ♀, *idem*, 25.IV.2009 (CAM); 1 ♀, *idem*, 28.XII.2009 (CAM); 1 ♂, *idem*, 11.XII.2011 (CAM); 1 ♂, *idem*, 18.XII.2011 (CAM); 1 ♂, *idem*, 31.XII.2011 (CAM); 1 ♀, *idem*, 22.I.2012 (CAM); 1 ♂, *idem*, 13.IV.2013 (CAM); 1 ♂, *idem*, 11.I.2014 (CAM); 1 ♂, Saül (Belvédère) [3°37'N - 53°12'O], 3.VIII.2011, S. Brûlé, P.-H. Dalens & E. Poirier leg. (CAM); 1 ♂, mont Itoupé, 3°01'23"N - 53°05'44"O, alt. 570 m, 23.III.2010, piège lumineux, S. Brûlé, P.-H. Dalens, E. Poirier & J. Tourout leg. (CAM); 2 ♂, massif du Mitaraka, ca. 2°14'N - 54°27'O, 25.II-26.III.2015, La Planète Revisitée – MNHN / PNI Guyane 2015 (APA-973-1) (MNHN). **Venezuela.** Bolívar, 22 km E Uputa [8°02'N - 62°13'O], 18-19.VI.1996, H. & A. Howden (CMNC).

**Description des mâles.** – Habitus : fig. 5-6. Longueur de l'extrémité du rostre à l'apex des élytres : 17,5-34,2 mm ; longueur de l'extrémité des élytres à l'apex du pronotum : 11,0-20,7 mm ; largeur au niveau des calus huméraux : 1,4-2,3 mm. Brun-rouge avec une ligne jaune orangé sur l'interstrie élytral 3 ; une tache élytrale post-médiane sombre sur les interstries 2-4.

**Tête** (fig. 84-86). Prorostre sillonné longitudinalement à la base uniquement (parfois faiblement chez les petits spécimens), caréné sur les côtés, non ponctué, très court, égal à 0,1-0,2× la longueur du métarostre et du mésorostre réunis. Mésorostre sillonné longitudinalement. Métarostre non ponctué, la carène longitudinale médiane à peine distincte. Yeux modérément saillants. Fovéole interoculaire indistincte. Côtés du métarostre avec d'assez nombreux pores sensoriels. Dessous de la tête avec deux rangées de pores sensoriels débutant en avant de la fovéole post-oculaire médiane, se poursuivant sous le métarostre jusqu'à la base du prorostre ; dessous du métarostre avec une zone longitudinale médiane lisse, non élevée. Antennes (fig. 87) à articles 2-8 assez longuement pubescents, 9-11 très allongés, cylindriques, couverts de soies courtes ; article 9 1,7-2,2× plus long que le 8<sup>e</sup> ; le 11<sup>e</sup> nettement plus long, à peine courbé, 1,3-1,4× plus long que le 9<sup>e</sup>.

**Thorax.** Pronotum 2,9-3,5× plus long que large, sans tubercules latéraux, les côtés presque subparallèles vers le milieu. Élytres nettement déprimés à la base au niveau de l'interstrie 5. Stries 1 et 2 bien marquées, la 2<sup>e</sup> atteignant presque la base ; stries 3-8 distinctes sous forme de fines ponctuations alignées, assez nettes. Apex des élytres (fig. 88-89) arrondi à tronqué, sans pointe, l'interstrie 3 élargi et élevé sur la déclivité apicale. Prothorax glabre, à ligne suturale bien marquée, à peine ponctué en avant des procoxae. Méta-thorax glabre, faiblement ponctué sur les côtés, à peine déprimé en avant des métacoxae. Métanépi sternes avec une ligne de ponctuations bien nettes. Trochanters avec une ou deux soies raides. Fémurs longuement pédonculés, les métafémurs (fig. 90) pas aplatis latéralement à la base ; tous les fémurs avec une impression latérale sur le pédoncule, glabres à l'exception des métafémurs. Tibias légèrement pubescents, surtout sur l'arête interne. Deuxième article tarsal (fig. 91-92) plus long que large.

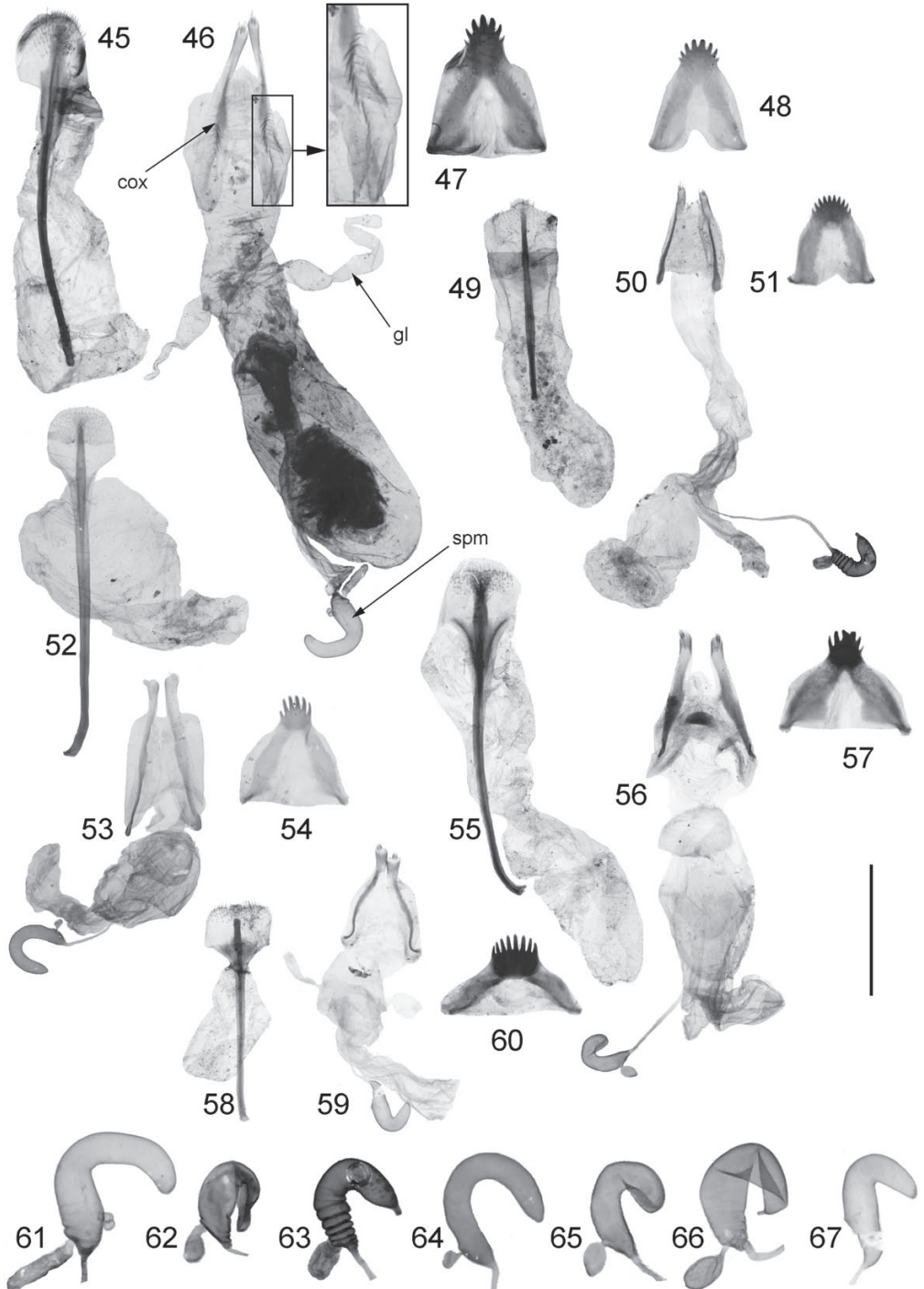
**Abdomen** (fig. 93) à sternites III-IV ponctué sur les côtés et en arrière, le sternite IV avec quelques soies au milieu. Sternites V-VI ponctué. Sternite VII avec une faible dépression subapicale. Sternites VIII et IX : fig. 26. Tegmen (fig. 25) à lobes paraméroïdes très courts, avec quelques longues soies apicales. Pénis (fig. 24) arrondi à l'apex, les témones un peu plus longs que la partie distale ; sac interne avec un sclérite proximal formant un double crochet (fig. 24) ; frena très réduits, peu distincts.

**Description des femelles.** – Habitus : fig. 7. Longueur de l'extrémité du rostre à l'apex des élytres : 11,5-23,5 mm ; longueur de l'extrémité des élytres à l'apex du pronotum : 8,1-15,9 mm ; largeur au niveau des calus huméraux : 1,2-2,1 mm. Coloration semblable à celle des mâles.

**Tête** (fig. 94-96). Prorostre 1,5-1,9× plus long que le mésorostre et le métarostre réunis. Mésorostre comme chez le mâle. Métarostre assez large, le plus souvent avec un large sillon médian, sans sillons paramédians. Tête non ponctué, fovéolée entre les yeux. Côtés de la tête sans ou avec quelques rares pores sensoriels en arrière des yeux. Dessous de la tête lisse, avec quelques pores sensoriels sous les

Fig. 45-67. – Acratini, segment 8 et genitalia des femelles. – 45-47, *Rugosacratu chontalensis* (Sharp) : 45, épipleurites VIII ; 46, genitalia ; 47, tergite VIII. – 48, *R. eximius* n. sp., tergite VIII. – 49-51, *R. punctirostris* (Schoenherr) : 49, épipleurites VIII ; 50, genitalia ; 51, tergite VIII. – 52-54, *Teramoceroïdes gracilis* (Boheman) : 52, épipleurites VIII ; 53, genitalia ; 54, tergite VIII. – 55-57, *T. belti* (Sharp) : 55, épipleurites VIII ; 56, genitalia ; 57, tergite VIII. – 58-60, *Teramocerus eletus* (Meyer) : 58, épipleurites VIII ; 59, genitalia ; 60, tergite VIII. – 61-67, Spermathèques : 61, *Rugosacratu chontalensis* ; 62, *R. eximius* ; 63, *R. punctirostris* ; 64, *Teramoceroïdes gracilis* ; 65, *T. belti* ; 66, *T. mamillatus* ; 67, *Teramocerus eletus*. Échelle : 1 mm, sauf fig. 61-67 : 0,5 mm. (cox, coxite ; gl, glande accessoire ; spm, spermathèque).

yeux. Dessous du prorostre lisse, sans carène ni sillon. Antennes (fig. 97) à segments 2-8 à pubescence assez longue et épaisse ; segments 9-11 subcylindriques assez rétrécis à la base, à pubescence plus courte et dense ; segment 9 1,8-1,9× plus long que le 8 ; 11° 1,3-1,4× plus long que le 9°.



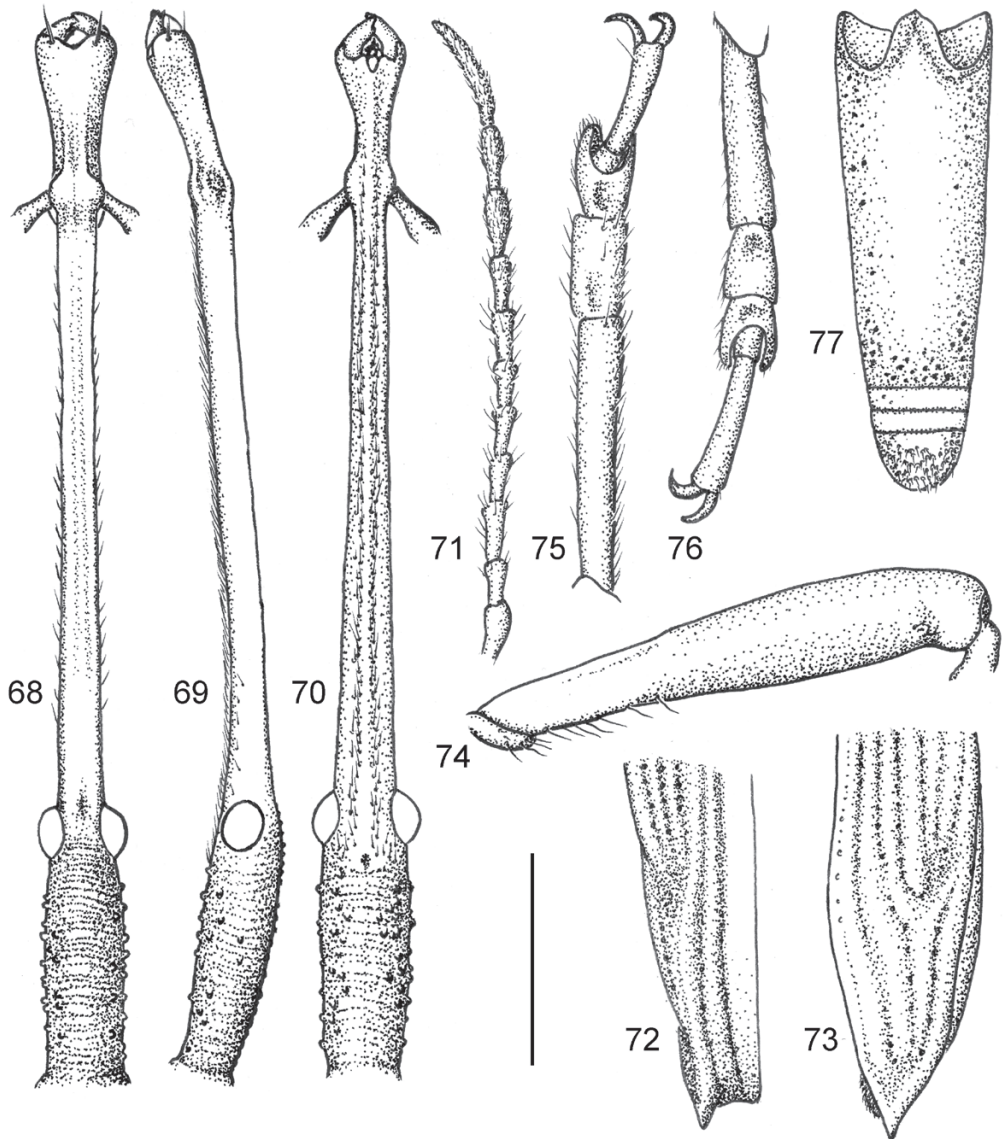


Fig. 68-77. – *Rugosacratus chontalensis* (Sharp), ♂. – 68-70, Tête et rostre : 68, face dorsale ; 69, côté gauche ; 70, face ventrale. – 71, Antenne. – 72-73, Apex élytral : 72, face dorsale ; 73, vue latérale gauche. – 74, Métatars gauche, vue latérale externe. – 75, Protarses. – 76, Métatarses. – 77, Abdomen. Échelle : fig. 68-71, 77 : 1 mm ; fig. 72-76 : 2 mm.

*Thorax*. Pronotum 2,6-3,1× plus long que large. Scutellum, élytres, pattes et thorax comme chez le mâle, un peu moins allongés, le métathorax pas du tout déprimé.

*Abdomen* comme chez le mâle, le sternite VII sans dépression subapicale. Tergite VIII (fig. 51) avec d'assez nombreuses (souvent plus de 10) dents serrées. Épipleurites VIII : fig. 49. Genitalia : fig. 50 ; spermathèque (fig. 63) avec plusieurs constriction basales.

**Répartition**. – Brésil, Colombie (nouvelle donnée), Guyane française (nouvelle donnée), Venezuela (nouvelle donnée) (fig. 150). Cette espèce est probablement largement répandue dans le bassin Amazonien.

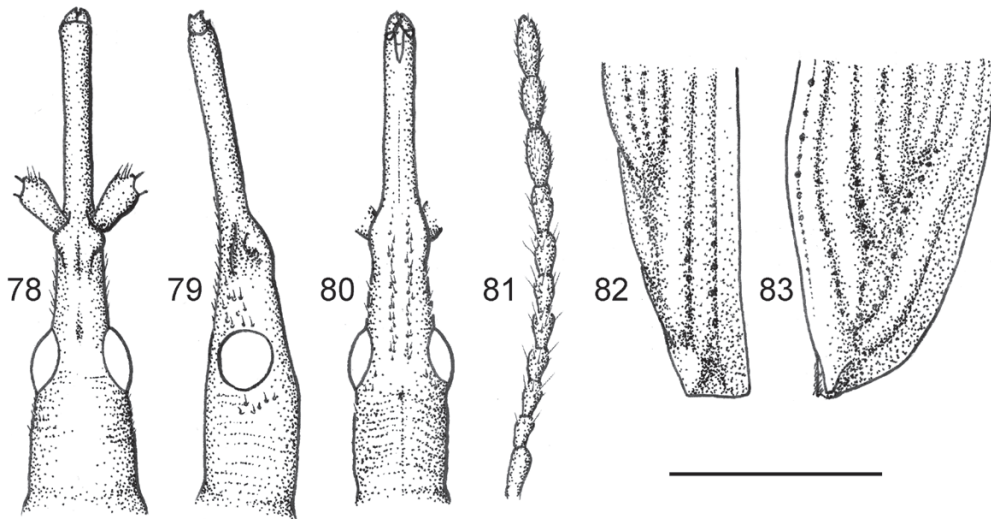


Fig. 78-83. – *Rugosacratus chontalensis* (Sharp), ♀. – 78-80, Tête et rostre : 78, face dorsale ; 79, côté gauche ; 80, face ventrale. – 81, Antenne. – 82-83, Apex élytral : 82, face dorsale ; 83, vue latérale gauche. Échelle : fig. 78-81 : 1 mm ; fig. 82-83 : 2 mm.

### Genre *Teramoceroides* n. gen.

Espèce-type : *Belorhynchus gracilis* Boheman, 1833.

**Diagnose.** – Prorostre des mâles pas très court ni fortement élargi à l'apex ; dessous du rostre des mâles avec de très longues soies, les pores sensoriels dépassant nettement la base du prorostre en avant. Dessous du métarostre des mâles sans carène longitudinale médiane ni sillon, le dessus avec une carène longitudinale médiane peu élevée. Côtés du métarostre des mâles sans pores sensoriels bien distincts. Métarostre des femelles allongé, au moins presque aussi long que le prorostre. Côtés du métarostre des femelles avec des pores sensoriels bien distincts. Fovéole interoculaire faible à absente. Tempes des mâles entre une et deux fois plus longues que les yeux ; tempes des femelles convergentes en arrière, avec des pores sensoriels. Antennomères 9-10 bien plus longs que larges, cylindriques. Pronotum sillonné, non ponctué. Scutellum ne s'avancant pas entre les élytres à la base. Élytres sans trou ni dépression à la base au niveau de l'insertion sur le mésonotum, les stries 1-2 bien distinctes, l'apex terminé par un prolongement dentiforme pubescent en dessous. Prosternellum bien distinct. Métacoxae des mâles glabres ou avec une ou deux soies. Métafémurs des mâles pédonculés, non foliacés à la base. Premier article tarsal plus long que large, le premier article métatarsal des mâles plus long que les deux suivants réunis. Tarsomères 2-3 impressionnés sur leur face supérieure. Abdomen des mâles non déprimé, glabre, avec deux saillies paramédianes à l'apex du sternite III. Sternites V-VI lisses. Tergite VIII des femelles avec 6-8 dents assez allongées. Sac interne avec un sclérite impair peu sclérifié, arrondi à l'apex. Frena réduits à absents. Spermathèque sans constriction à la base.

**Remarque.** – Le genre *Teramoceroides* n. gen. comprend actuellement trois espèces bien caractérisées par une dent élytrale apicale pubescente en dessous et, chez le mâle, de longues et abondantes soies sous le rostre et un abdomen avec deux saillies paramédianes (plus ou moins élevées) à l'apex du sternite III. Elles peuvent se différencier ainsi.

- Élytres sans reflets métalliques (fig. 8-9) ; saillies paramédianes du sternite III des mâles réduites à deux touffes de soies (fig. 107) ..... *Teramoceroides gracilis* (Boheman)  
– Élytres à reflets métalliques (fig. 10-13) ; saillies paramédianes du sternite III des mâles bien marquées (fig. 123, 129) ..... 2

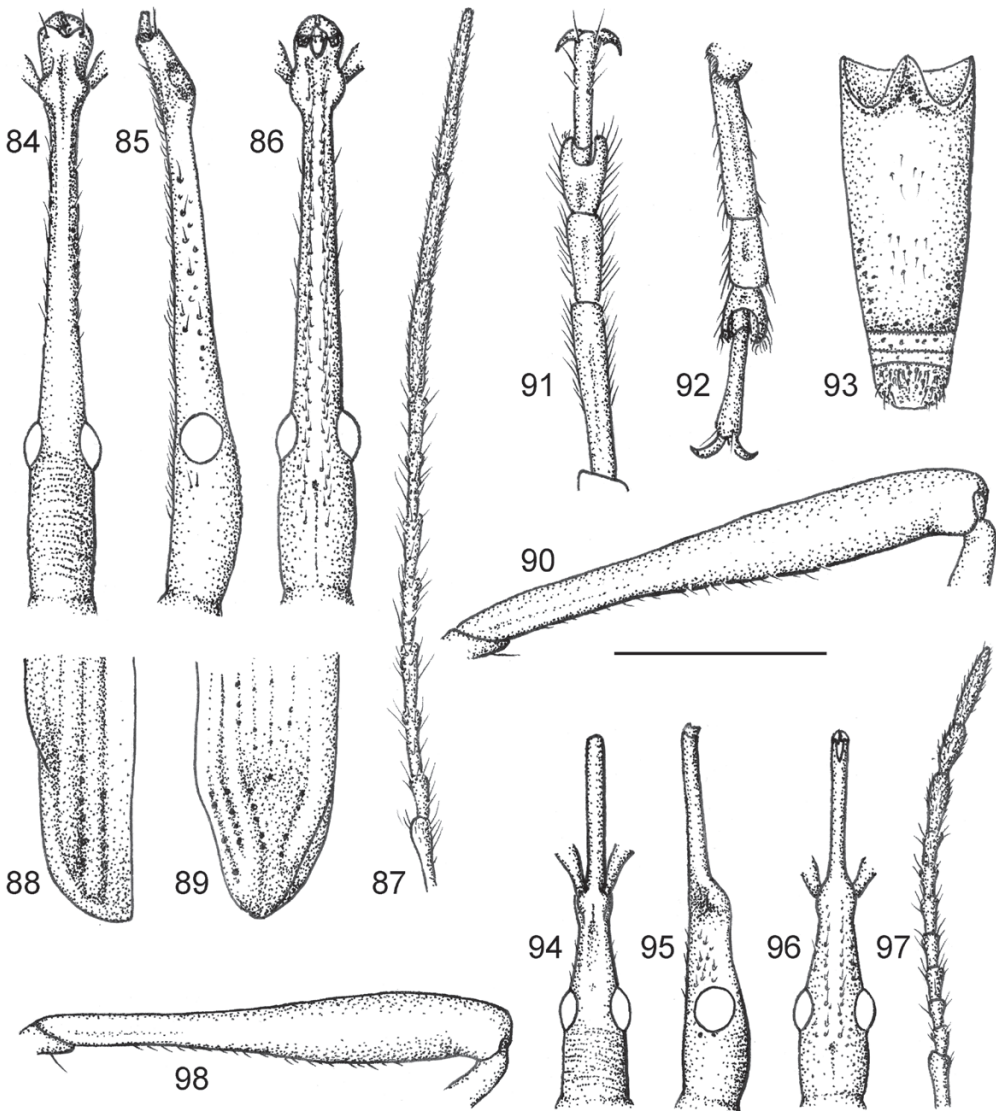


Fig. 84-98. – *Rugosacratus punctirostris* (Schoenherr). – 84-93, ♂ : 84-86, tête et rostre (84, face dorsale ; 85, côté gauche ; 86, face ventrale) ; 87, antenne ; 88-89, apex élytral (88, face dorsale ; 89, vue latérale gauche) ; 90, métafémur gauche, vue latérale externe ; 91, protarses ; 92, métatarses ; 93, abdomen. – 94-98, ♀ : 94-96, tête et rostre (94, face dorsale ; 95, côté gauche ; 96, face ventrale) ; 97, antenne ; 98, métafémur gauche, vue latérale externe. Échelle : fig. 84-87, 93-97 : 1 mm ; 88-92, 98 : 2 mm.

2. Scutellum profondément fovéolé ; dent apicale des élytres très longue, effilée (fig. 124, 126) ; métatarse 1 des mâles non caréné (fig. 127-128) ..... *T. mamillatus* (Meyer)  
 – Scutellum non fovéolé ; dent apicale des élytres courte (fig. 119, 121) ; métatarse 1 des mâles fortement caréné longitudinalement (fig. 118) ..... *T. belti* (Sharp)

***Teramoceroides gracilis* (Boheman, 1833), n. comb.**

*Belorhynchus gracilis* Boheman in SCHOENHERR, 1833 : 341.

*Teramocerus gracilis* (Boheman) ; Boheman in SCHOENHERR, 1840 : 560 ; LACORDAIRE, 1865 : 466 ; SCHÖNFELDT, 1908 : 70 ; KLEINE, 1938 : 126 ; BLACKWELDER, 1947 : 774 ; SFORZI & BARTOLOZZI, 2004 : 589 ; MANTILLERI, 2014b : 431.

*Teramocerus mannerheimi* Boheman in Schoenherr, 1840 : 559 ; Lacordaire, 1865 : 466 ; Schönfeldt, 1908 : 70 ; Kleine, 1938 : 126 ; Blackwelder, 1947 : 774 ; Sforzi & Bartolozzi, 2004 : 590 ; Mantilleri, 2014b : 431 (syn.).  
*Teramocerus exilis* Boheman in Schoenherr, 1840 : 561 ; Lacordaire, 1865 : 466 ; Schönfeldt, 1908 : 70 ; Kleine, 1938 : 175 ; Blackwelder, 1947 : 774 ; Sforzi & Bartolozzi, 2004 : 589 ; Mantilleri, 2014b : 431 (syn.).

**Types.** – *B. gracilis*. HOLOTYPE : ♂, “Brasilia, Freyreiss, typus, NHRS-JLKB 000020290” (NHRS).

*T. mannerheimi*. LECTOTYPE : ♂, “Rio-Janeiro, Mannerheim, typus, NHRS-JLKB 000020291” (NHRS) ; désigné par Mantilleri (2014b). PARALECTOTYPE : ♂, “Rio-Janeiro, Mannerheim, typus, NHRS-JLKB 000020298” (NHRS).

*T. exilis*. LECTOTYPE : ♀, “Brésil, Chevrolat T 315, ♀ du *mannerheimi*, ex Musaeo G. Power, Muséum Paris 1952 coll. R. Oberthür, A. Mantilleri prép. micro. n°AM00188, MNHN EC2848” (MNHN) ; désigné par Mantilleri (2014b). PARALECTOTYPE : ♀, “*Teramocerus exilis*, Brasil : Chevrol., NHRS-JLKB 000020289” (NHRS).

**Matériel examiné.** – **Sans données.** 1 ♂ et 1 ♀, ex musaeo Desbrochers 1913 (MNHN). **Brésil.** ♂ holotype de *B. gracilis* (NHRS) ; ♂ lectotype et ♂ paralectotype (NHRS) de *T. mannerheimi* ; ♀ lectotype (MNHN) et ♀ paralectotype (NHRS) de *T. exilis* ; 2 ♂, Brésil, Chevrolat (MNHN) ; 2 ♂, Brésil, Mniszech, prép. micro. n°AM00192 (MNHN) ; 1 ♀, Brésil, Westwood 1835 (MNHN) ; 1 ♂ et 1 ♀, Brésil, Thomson (MNHN) ; 1 ♂, Brésil, prép. micro. n°AM00189 (MNHN) ; 1 ♂, province du Mato Grosso, 1886, P. Germain, prép. micro. n°AM00199 (MNHN).

**Description des mâles.** – Habitus : fig. 8. Longueur de l'extrémité du rostre à l'apex des élytres : 20,6-51,0 mm ; longueur de l'extrémité des élytres à l'apex du pronotum : 12,6-28,0 mm ; largeur au niveau des calus huméraux : 1,6-3,0 mm. Entièrement brun à brun-rouge.

**Tête** (fig. 99-101). Prorostre non sillonné, lisse, égal à 0,25-0,35× la longueur du mésorostre et du métarostre réunis (proportionnellement plus court chez les plus grands spécimens). Mésorostre faiblement élevé et sillonné au milieu, sans sillons paramédians. Métarostre non ponctué. Tempes faiblement convergentes en arrière. Yeux saillants. Tête non sillonnée, non ponctuée. Constriction collaire peu nette. Côtés de la tête et du métarostre avec quelques rares ponctuations. Dessous de la tête à suture gulaire bien visible, se terminant en avant par une fovéole post-oculaire médiane ; assez nombreux pores sensoriels non ordonnés, à longues soies. Antennes (fig. 102) à articles modérément pubescents, tous nettement plus longs que larges, subcylindriques. Article 9 1,1-1,2× plus long que l'article 8, le 11<sup>e</sup> environ 1,5× plus long que le 9<sup>e</sup>, un peu courbé.

**Thorax.** Pronotum entre trois et quatre fois plus long que large. Scutellum fovéolé (parfois faiblement). Élytres à base non abrupte, un peu déprimés à la base au niveau de l'interstrie 5. Strie 2 n'atteignant pas la base ni l'apex, distincte en avant et en arrière sous forme de ponctuations fines ; stries 3-8 distinctes sous forme de lignes de fines ponctuations alignées peu profondes. Apex des élytres (fig. 103-104) en forte pointe large formée par les interstries 3, 9 et 11, l'interstrie 3 caréniforme depuis la déclivité apicale jusqu'à l'apex, non distinct plus en avant. Interstries 1 et 2 bien marqués. Face inférieure de l'apex élytral pubescente, les soies raides visibles à l'apex en vue dorsale. Prothorax glabre, ponctué en avant des procoxae saillantes, la suture prosternale nette. Mésothorax grossièrement ponctué sur les côtés ; mésanépisternes et mésépimères avec quelques grosses ponctuations. Métathorax à peine déprimé en avant des métacoxae, non ponctué. Métanépisternes avec une ligne de très fines ponctuations à peine distinctes. Pattes à trochanters portant 1 ou 2 soies. Fémurs glabres ; profémurs avec une légère impression longitudinale du côté externe. Tibias allongés, avec des soies fines assez longues sur l'arête interne. Premier article tarsal beaucoup plus long que large, plus long que les deux articles suivants réunis (fig. 105-106). Article 2 nettement allongé, le 3<sup>e</sup> presque aussi large que long. Articles 2-3 faiblement impressionnés sur le dessus. Métatarse 1 non caréné sur le dessus.

**Abdomen** (fig. 107) allongé, les sternites III-IV lisses en dehors de quelques ponctuations en arrière des métacoxae et de deux saillies paramédianes pubescentes en arrière du sternite III. Sternites V-VII lisses, glabres. Tergites membraneux foncés. Sternites VIII et IX : fig. 27. Tegmen (fig. 28) à lobes paraméroïdes très réduits, glabres. Pénis (fig. 29) concave à l'apex, les témones aussi longs que la partie distale ; sac interne avec un sclérite proximal de grande taille, modérément sclérifié, arrondi à l'apex, sans longues baguettes paramédianes ; frena absents.

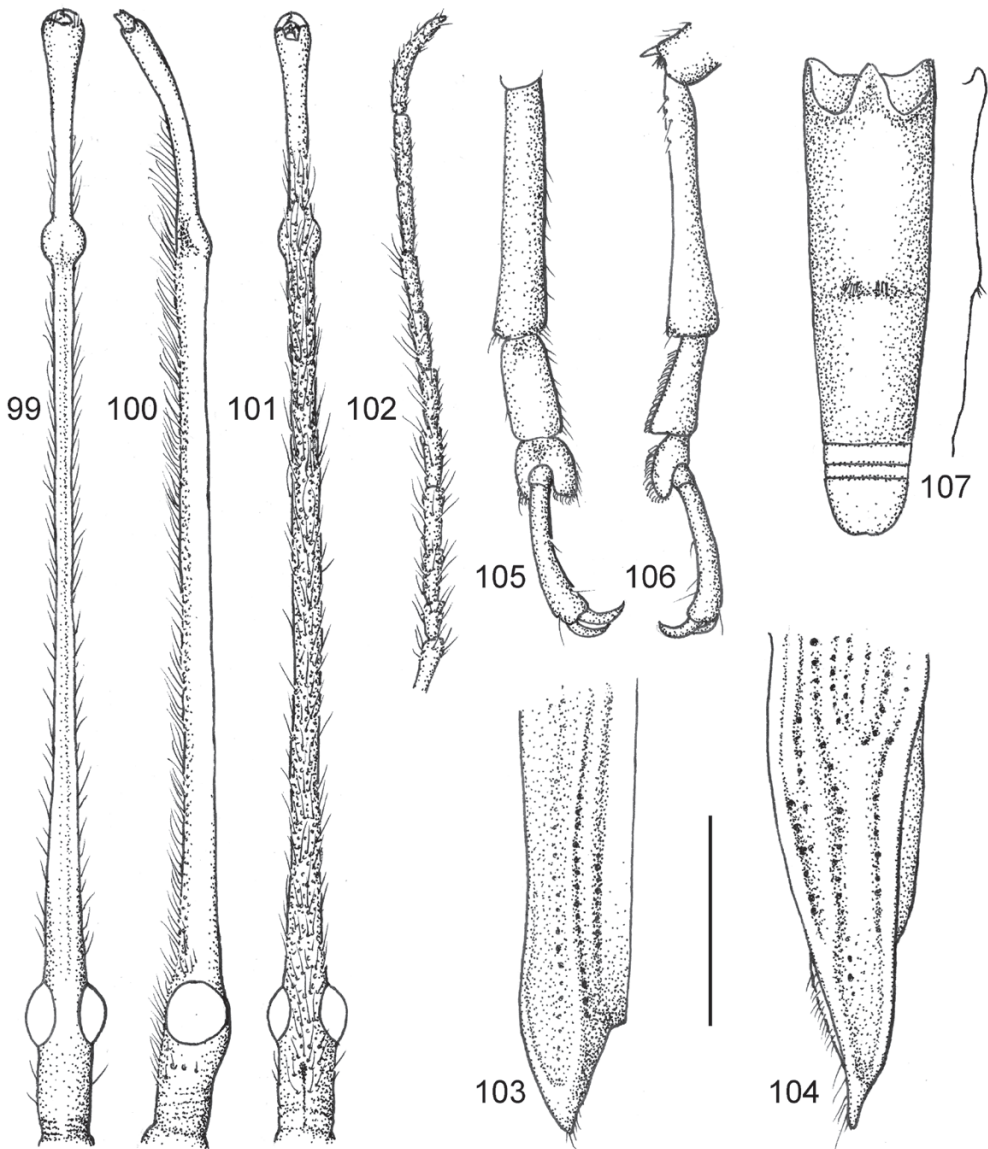


Fig. 99-107. — *Teramocerooides gracilis* (Boheman), ♂. — 99-101, Tête et rostre : 99, face dorsale ; 100, côté gauche ; 101, face ventrale. — 102, Antenne. — 103-104, Apex élytral : 103, face dorsale ; 104, vue latérale gauche. — 105-106, Métatarses : 105, vue dorsale ; 106, vue latérale. — 107, Abdomen en vue ventrale et silhouette en vue latérale. Échelle : fig. 99-102, 107 : 1 mm ; 103-106 : 2 mm.

**Description des femelles.** — Habitus : fig. 9. Longueur de l'extrémité du rostre à l'apex des élytres : 23,4-28,5 mm ; longueur de l'extrémité des élytres à l'apex du pronotum : 16,7-20,7 mm ; largeur au niveau des calus huméraux : 2,3-2,9 mm. Corps entièrement brun à brun-rouge.

**Tête** (fig. 108-110). Prorostre cylindrique, lisse, légèrement courbé vers le haut, 1,3-1,4× plus long que le mésorostre et le métarostre réunis. Mésorostre un peu élevé, à peine sillonné au milieu. Métarostre lisse, faiblement caréné longitudinalement. Tempes plus courtes que les yeux, ces derniers saillants. Tête lisse, non sillonnée, à fovéole interoculaire indistincte. Constriction collaire bien marquée. Côtés de la tête avec de gros pores sensoriels. Dessous de la tête à suture gulaire bien visible, se terminant en avant

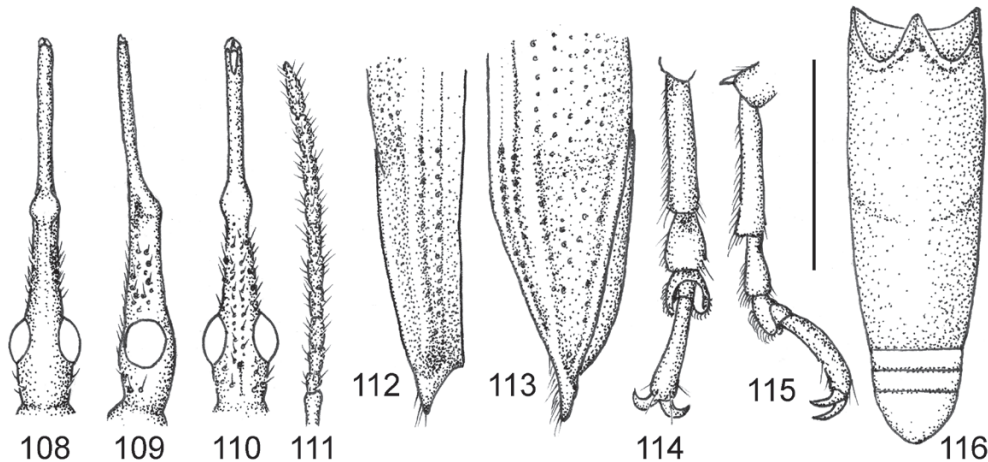


Fig. 108-116. – *Teramoceroides gracilis* (Boheman), ♀. – 108-110, Tête et rostre : 108, face dorsale; 109, côté gauche; 110, face ventrale. – 111, Antenne. – 112-113, Apex élytral : 112, face dorsale; 113, vue latérale gauche. – 114-115, Métatarses : 114, vue dorsale; 115, vue latérale. – 116, Abdomen. Échelle : fig. 108-111, 116 : 1 mm; fig. 112-115 : 2 mm.

par une fovéole post-oculaire médiane; assez nombreux pores sensoriels non ordonnés. Dessous du métarostre ni caréné ni sillonné, avec deux rangées de pores sensoriels atteignant le mésorostre. Antennes (fig. 111) pubescentes, tous les articles plus longs que larges (2<sup>e</sup> le plus court presque aussi large que long); articles 1-8 un peu élargis à l'apex, 9-11 cylindriques. Article 9 1,3-1,4× plus long que l'article 8, le 11<sup>e</sup> le plus long.

**Thorax.** Pronotum 2,5-2,8× plus long que large. Scutellum et élytres comme chez le mâle, mais l'apex élytral (fig. 112-113) en pointe beaucoup moins développée, l'interstrie III non caréniforme à l'apex; pointe apicale pubescente en dessous. Prothorax, prosternellum, mésothorax et métathorax comme chez le mâle. Pattes comme chez le mâle, les fémurs moins longuement pédonculés et tous plus ou moins impressionnés longitudinalement à la base du côté externe. Tarses (fig. 114-115) comme chez le mâle, moins allongés.

**Abdomen** (fig. 116) comme chez le mâle, le sternite III sans saillies paramédianes. Tergite VIII (fig. 54) avec 6-7 dents assez grandes. Épipleurites VIII : fig. 52. Genitalia : fig. 53; spermathèque (fig. 64) sans constriction basales.

**Répartition.** – Brésil (fig. 152). Parmi le matériel examiné, seuls deux exemplaires présentent une indication de localité plus précise : l'un "Rio-Janeiro", l'autre "province du Mato Grosso". Il est possible que *T. gracilis* soit une espèce des régions Sud et Sud-Est du Brésil.

#### ***Teramoceroides belti* (Sharp, 1895), n. comb.**

*Teramocerus belti* Sharp, 1895 : 78; KLEINE, 1938 : 126; BLACKWELDER, 1947 : 774; SFORZI & BARTOLOZZI, 2004 : 588.

*Proteramocerus belti* (Sharp); KLEINE, 1921 : 131.

**Types.** – LECTOTYPE : ♂, "Chontales, Nicaragua, T. Belt" (NHM). Désigné par SFORZI & BARTOLOZZI (2004). PARALECTOTYPE : 1 ♂, "Chontales, Nicaragua, T. Belt; prép. micro. n°AM-NHM 00004" (NHM).

**Matériel examiné.** – **Sans données.** 1 ♂ et 1 ♀, Am. Sud, ex musaeo G. Power, prép. micro. n°AM00200 et AM00201 (MNHN). **Colombie.** 1 ♂ et 1 ♀, Colombie, Mniszech (MNHN); 1 ♂, Colombie, ex musaeo Desbrochers 1913 (MNHN). **Costa Rica.** 2 ♂, Puntarenas, Res. Biol. Carara, Estac. Quebrada Bonita [9°50'N - 84°58'O], 50 m, VIII.1989, *R. Zuniga* (INBio); 2 ♂ et 1 ♀, *idem*, V.1990, *R. Zuniga* (INBio); 1 ♂, *idem*, prép. micro. n°AM-CMNC 00005 (CMNC); 2 ♀, *idem*, V.1993 et IX.1993, *J. Saborio*

(INBio); 1 ♂, *idem*, 50-100 m, IV.1995, R. Guzman (INBio); 1 ♂, *idem*, 100 m, IV.1996 (INBio); 1 ♂, Puntarenas, Fila Cruces, Finca Ilama, 1200 m, 13.V.1996, J. A. Chacón (INBio); 1 ♀, prov. Guanacaste, Estac. Santa Rosa [10°50'N - 85°37'O], 300 m, 3-12.VI.1992 (INBio); 2 ♂ et 2 ♀, prov. Guanacaste, PN Santa Rosa, 6-20.VII.1978, D. H. Janzen (INBio); 27 ♂ et 22 ♀, *idem*, 13-15.VII.1979 (INBio); 1 ♀, *idem*, 300 m, 20-31.V.1982, D. H. Janzen & W. Hallwachs (INBio); 1 ♀, *idem*, IX.1983 (INBio); 3 ♂ et 1 ♀, *idem*, V.1984 (INBio); 1 ♀, PN Guanacaste, Los Almendros [10°58'N - 85°31'O], 300 m, 12-31.V.1993, E. López (INBio); 1 ♀, prov. Guanacaste, Finca Jenny, 30 km N de Liberia [10°52'N - 85°34'W], 240 m, 14-21.VIII.1993, E. Araya, prép. micro. n°AM-CMNC 00004 (CMNC); 1 ♂, *idem*, 8-26.VI.1994, E. López (INBio); 1 ♀, prov. Guanacaste, O volcan Orosi, Estac. Maritza [10°57'25"N - 85°29'42"O], 600 m, V.1990, R. Blanco (INBio). **Nicaragua.** ♂ lectotype et ♂ paralectotype (NHM). **Panama.** 1 ♂ et 1 ♀, Canal Zone, Fort Kobbe [8°55'N - 79°55'O], 4.VIII.1985, H. Stockwell (CMNC); 1 ♂ et 2 ♀, Canal Zone, Barro Colorado Is., 9°10'N - 79°50'O, 10-22.VI.1977, H. Hespenheide leg. (TAMU); 1 ♂, *idem*, 22.VII.1974 (TAMU); 1 ♂, Canal Zone, Madden Forest, mi. 5.0, 9°07'N - 79°38'O, 19.VI.1971, H. Hespenheide leg. (TAMU); 1 ♂, Panamá, Cerro Campana [8°41'10"N - 79°55'10"O], 850 m, 17.V.1993, lampe UV, E. G. Riley leg. (TAMU).

**Description des mâles.** – Habitus : fig. 10. Longueur de l'extrémité du rostre à l'apex des élytres : 17,3-42,7 mm ; longueur de l'extrémité des élytres à l'apex du pronotum : 10,3-23,1 mm ; largeur au niveau des calus huméraux : 1,4-2,9 mm. Vert olive métallique parfois un peu doré, sauf la tête, les pattes et rarement le pronotum brun foncé.

Tête et rostre comme *T. gracilis* (prorostre égal à 0,2-0,3× la longueur du mésorostre et du métarostre réunis), la fovéole interoculaire plus marquée et le dessus de la tête un peu ridulé transversalement. Antennes comme chez *T. gracilis*.

**Thorax.** Pronotum allongé (2,7-3,1× plus long que large), avec quelques faibles pustules sur les côtés dans la partie antérieure (non visibles chez les plus petits spécimens). Scutellum non fovéolé. Élytres comme chez *T. gracilis*, la pointe apicale (fig. 119-120) peu allongée formée par les interstries 3, 9 et 11, l'interstrie 3 caréniforme de la déclivité apicale à l'apex, indistinct en avant ; face inférieure du prolongement apical pubescente. Prothorax, prosternellum, mésothorax et métathorax comme chez *T. gracilis*. Pattes comme chez *T. gracilis*, les tarsi (fig. 117) encore plus allongés, le premier article métatarsal (fig. 118) fortement caréné longitudinalement.

**Abdomen** (fig. 123) à sternites III-VI comme chez *T. gracilis* mais les deux saillies paramédianes plus élevées. Sternite VII grossièrement ponctué. Tergites membraneux clairs. Sternites VIII et IX : fig. 32. Tegmen (fig. 31) à lobes paraméroïdes réduits, glabres. Pénis (fig. 30) à apex émoussé faiblement concave ; témoins un peu plus longs que la partie distale ; sac interne avec un sclérite proximal de grande taille, modérément sclérifié, avec deux longues baguettes paramédianes ; frena très réduits à absents.

**Description des femelles.** – Habitus : fig. 11. Longueur de l'extrémité du rostre à l'apex des élytres : 13,3-29,6 mm ; longueur de l'extrémité des élytres à l'apex du pronotum : 9,2-22,0 mm ; largeur au niveau des calus huméraux : 1,4-3,1 mm. Coloration comme chez le mâle.

Tête et rostre comme *T. gracilis*, mais le prorostre en général plus court que le mésorostre et le métarostre réunis (prorostre égal à 0,7-1,2× la longueur du mésorostre et du métarostre réunis ; plus les spécimens sont petits, plus le prorostre est proportionnellement plus grand). Fovéole interoculaire plus marquée.

**Thorax.** Pronotum comme *T. gracilis*, 2,4-2,6× plus long que large, les côtés lisses, sans pustules. Scutellum et élytres comme chez le mâle, la pointe apicale (fig. 121-122) un peu plus faible. Thorax et pattes comme chez le mâle, les fémurs moins longuement pédonculés et plus nettement impressionnés longitudinalement à la base sur la face externe. Tarsi comme chez le mâle, moins allongés, le 1<sup>er</sup> article métatarsal sans carène longitudinale.

**Abdomen** comme chez le mâle, le sternite III sans protubérances saillantes à l'apex, le sternite VII lisse. Tergite VIII (fig. 57) semblable à celui de *T. gracilis*. Épipleurites VIII : fig. 55. Genitalia : fig. 56 ; spermathèque (fig. 65) sans constriction basales.

**Répartition.** – Colombie (nouvelle donnée), Costa Rica, Panama (nouvelle donnée), Nicaragua (fig. 152). Espèce typique de l'Amérique centrale. La citation de Colombie est ancienne et imprécise ; elle demanderait à être confirmée.

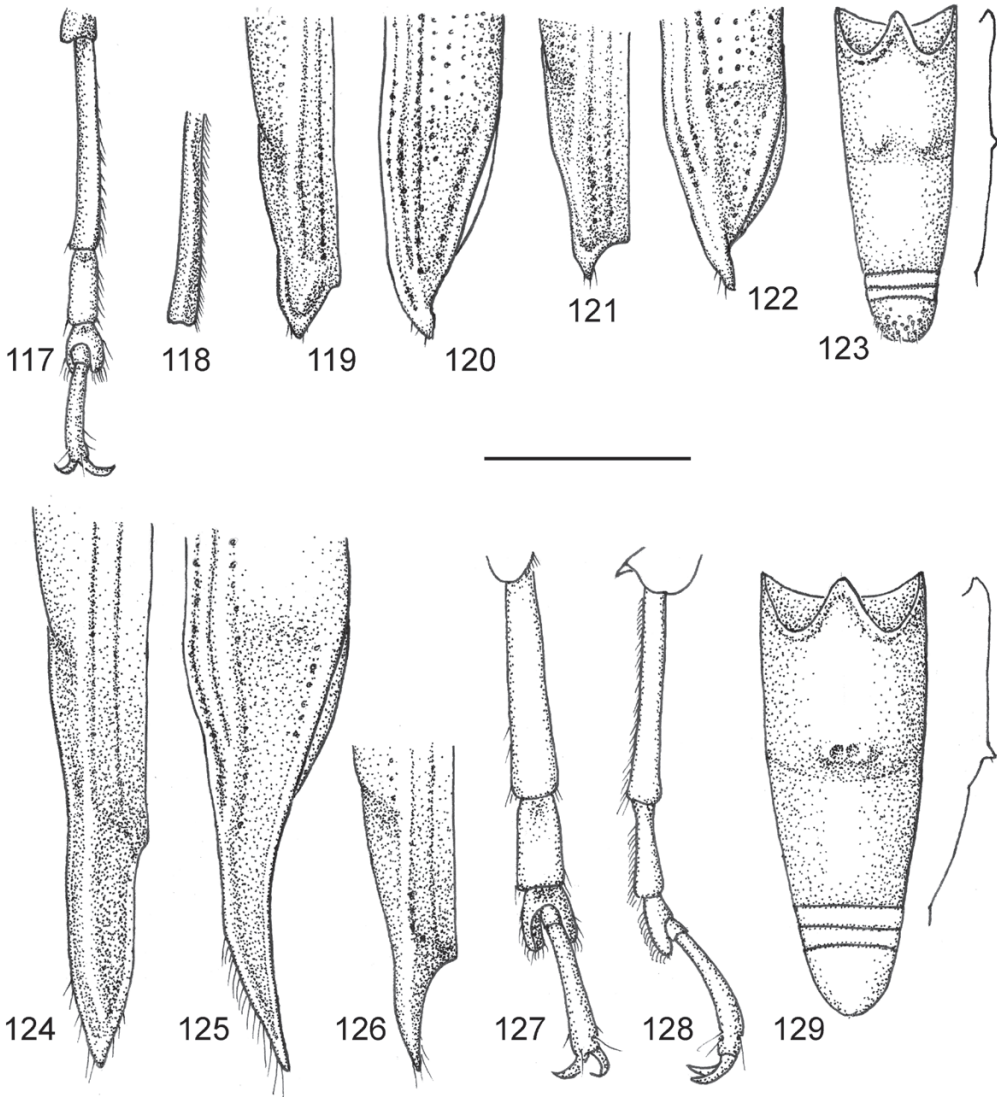
***Teramoceroides mamillatus* (Meyer, 1959), n. comb.***Teramocerus mamillatus* Meyer, 1959 : 300 ; SFORZI & BARTOLOZZI, 2004 : 589.**Type.** – HOLOTYPE : ♂, Obidos [1°53'S - 55°31'O], Parà, Brasil, Agosto 1957, *F. M. Oliveira* ; prép. micro. n°AM-MNRJ 00001 (MNRJ).**Matériel examiné.** – **Sans données.** 1 ♂, Amérique, *Weddel*, prép. micro. n°AM00245 (MNHN). **Brésil.** ♂ holotype (MNRJ) ; 1 ♂, Brésil, Thomson (MNHN) ; 1 ♀, Santarem [2°37'S - 54°42'O], 1.1878, *M. de Mathan* (MNHN). **Guyane française.** 1 ♀, montagne des Chevaux [4°44'32"N - 52°25'53"O],

Fig. 117-129. – *Teramoceroides* spp., détails morphologiques. – 117-123, *T. belti* (Sharp) : 117, ♂, métatarses, vue dorsale ; 118, ♂, métatarse 1, vue latérale ; 119-120, ♂, apex élytral (119, face dorsale ; 120, vue latérale gauche). – 121-122, ♀, apex élytral (121, face dorsale ; 122, vue latérale gauche) ; 123, ♂, abdomen en vue ventrale et silhouette en vue latérale. – 124-129, *T. mamillatus* (Meyer) : 124-125, ♂, apex élytral (124, face dorsale ; 125, vue latérale gauche) ; 126, ♀, apex élytral, face dorsale ; 127-128, ♂, métatarses (127, vue dorsale ; 128, vue latérale) ; 129, ♂, abdomen en vue ventrale et silhouette en vue latérale. Échelle : fig. 117-122, 124-128 : 1 mm ; fig. 123, 129 : 2 mm.

19.XII.2009, S. Brûlé, P.-H. Dalens & E. Poirier leg., prép. micro. n°AM00175 (MNHN); 1 ♀, Saint-Élie, inselberg Haute-Kourisbo, 4°18'59"N - 53°17'10"O, 28.X.2013, piège lumineux, P.-H. Dalens leg. (CAM); 1 ♀, Matoury, sentier de la Mirande [4°51'28"N - 52°21'00"O], 22.II.2015, A. Faille (CAF).

**Description des mâles.** – Habitus : fig. 12. Longueur de l'extrémité du rostre à l'apex des élytres : 20,5-37,0 mm ; longueur de l'extrémité des élytres à l'apex du pronotum : 11,5-20,4 mm ; largeur au niveau des calus huméraux : 1,7-2,8 mm. Élytres vert métallique vif, la ligne suturale violacée ; pronotum olivâtre ; tête et pattes brun plus ou moins foncé.

**Tête** et rostre comme chez *T. gracilis* (prorostre égal à 0,3× la longueur du mésorostre et du métarostre réunis), le dessus et les côtés de la tête faiblement ridulés transversalement. Antennes comme chez *T. gracilis*, le 11<sup>e</sup> article près de 2 fois plus long que le 9<sup>e</sup>.

**Thorax.** Pronotum allongé (2,6-2,8× plus long que large), lisse sur les côtés en avant des procoxae. Scutellum avec une profonde fovéole triangulaire. Élytres comme chez *T. gracilis*, la pointe apicale (fig. 124-125) très allongée, pubescente en dessous, formée par les interstries 3, 9 et 11, le 3<sup>e</sup> fortement caréniforme à l'apex, indistinct en avant. Prothorax, prosternellum, mésothorax et métathorax comme chez *T. gracilis*. Pattes et tarsi (fig. 127-128) comme chez *T. gracilis*.

**Abdomen** (fig. 129) à sternites III-IV comme chez *T. gracilis*, les deux saillies paramédianes à l'apex du sternite III très marquées. Sternites V-VII comme chez *T. gracilis*, lisses. Tergites membraneux clairs. Sternites VIII-IX : fig. 35. Tegmen (fig. 34) à lobes paraméroïdes assez réduits, avec quelques soies apicales. Pénis (fig. 33) à apex très effilé ; témones plus courts que la partie distale ; sac interne avec un grand sclérite médian distal modérément sclérifié, associé à deux zones paramédianes présentant de nombreux petits spicules ; plus en avant, deux sclérites paramédians allongés, fortement sclérifiés ; frena absents.

**Description des femelles.** – Habitus : fig. 13. Longueur de l'extrémité du rostre à l'apex des élytres : 17,2-24,1 mm ; longueur de l'extrémité des élytres à l'apex du pronotum : 12,1-17,4 mm ; largeur au niveau des calus huméraux : 1,8-2,5 mm. Coloration comme chez le mâle.

**Tête** et rostre comme chez *T. gracilis* (prorostre un peu plus court, égal à 1,0-1,1 fois la longueur du mésorostre et du métarostre réunis), la fovéole interoculaire un peu plus marquée. Antennes comme chez *T. gracilis* ; article 9 1,2-1,5× plus long que l'article 8, le 11<sup>e</sup> le plus long (1,6-1,7× plus long que l'article 9).

**Thorax.** Pronotum comme *T. gracilis*, 2,4× plus long que large, les côtés lisses, sans pustules. Scutellum et élytres comme chez le mâle, l'apex élytral (fig. 126) en pointe plus aiguë, l'interstrie III caréniforme à l'apex ; pointe apicale pubescente en dessous. Prothorax, prosternellum, mésothorax et métathorax comme chez le mâle. Pattes comme chez le mâle, les fémurs moins longuement pédonculés, non impressionnés sur le côté externe du pédoncule. Tarsi comme chez le mâle, moins allongés.

**Abdomen** comme chez le mâle, le sternite III convexe, sans saillies paramédianes. Tergite VIII semblable à celui de *T. gracilis*. Spermathèque (fig. 66) sans constriction basales.

**Répartition.** – Brésil, Guyane française (nouvelle donnée) (fig. 152). Espèce probablement répandue dans toute la partie nord du bassin Amazonien, plateau des Guyanes compris.

#### Genre *Parateramocerus* n. gen.

Espèce-type : *Proteramocerus goianus* Soares & Dias, 1971.

**Diagnose.** – Prorostre des mâles allongé, peu élargi à l'apex. Mésorostre sans sillons paramédians. Tempes faiblement convergentes en arrière, la constriction collaire peu nette. Côtés de la tête et du métarostre avec quelques rares ponctuations. Dessous du métarostre non caréné ni sillonné. Antennes à articles bien plus longs que larges. Scutellum non fovéolé. Élytres à base non abrupte, sans trou ni profonde dépression au niveau de leur insertion sur le mésonotum. Interstries 1 et 2 bien marqués. Prosternellum bien distinct. Métafémurs pédonculés, non foliacés à la base. Premier article tarsal plus long que large, plus court que les deux suivants réunis. Abdomen à sternites III-VII lisses. Pénis à témones plus courts que la partie distale ; sac interne avec deux longues baguettes paramédianes ; frena absents.

***Parateramocerus goianus* (Soares & Dias, 1971), n. comb.***Proteramocerus goianus* Soares & Dias, 1971 : 61 ; SFORZI & BARTOLOZZI, 2004 : 585.

**Type.** – HOLOTYPE : ♂, Brasil, Aruana [14°55'S - 51°05'O] - Goiás, rio Araguaia, V.1960, Dirings ; prép. micro. n°AM-MZSP00006 (MZSP).

**Matériel examiné.** – Brésil. ♂ holotype (MZSP) ; 1 ♂, Brésil, Mato Grosso, P. Germain, 1886, prép. micro. n°AM00356 (MNHN).

**Description du mâle.** – Habitus : fig. 14. Longueur de l'extrémité du rostre à l'apex des élytres : 25 mm ; longueur de l'extrémité des élytres à l'apex du pronotum : 14,6 mm ; largeur au niveau des calus huméraux : 1,8 mm. Élytres et pronotum légèrement vert métallique sur les côtés, brun-rouge dessus ; tout le reste du corps brun-rouge.

**Tête** (fig. 130-132). Prorostre non sillonné, lisse. Mésorostre faiblement élevé et sillonné au milieu. Métarostre non ponctué, avec une faible carène longitudinale médiane. Dessous du métarostre sans pores sensoriels. Antennes (fig. 133) à articles faiblement pubescents, subcylindriques. Article 9 1,25× plus long que l'article 8, le 11<sup>e</sup> 1,5× plus long que le 9<sup>e</sup>, un peu courbé.

**Thorax.** Pronotum 3,3× plus long que large, microréticulé, très légèrement ridulé, les côtés avec de petites pustules en avant. Élytres un peu déprimés à la base au niveau de l'interstrie 5. Stries 1 et 2 bien marquées, la 2<sup>e</sup> n'atteignant pas l'apex, distincte en arrière sous forme de ponctuations ; stries 3-8 distinctes sous forme de lignes de ponctuations alignées bien nettes. Apex des élytres (fig. 134-135) en courte pointe formée par les interstries 9 et 10, l'interstrie 3 à peine élevé sur la déclivité apicale, non distinct plus en avant. Face inférieure de l'apex élytral non aplatie, glabre. Prothorax glabre, la suture prosternale nette. Mésothorax avec quelques ponctuations latérales ; mésanépisternes et mésépimères avec quelques grosses ponctuations. Métathorax à peine déprimé en avant des métacoxae, non ponctué. Métanépisternes avec une ligne de très fines ponctuations à peine distinctes. Pattes à trochanters portant une ou deux soies. Fémurs pédonculés, glabres, les métafémurs avec quelques rares soies sous le pédoncule ; profémurs avec une légère impression longitudinale du côté externe. Tibias allongés, avec des soies sur l'arête interne. Article tarsal 2 un peu allongé, le 3<sup>e</sup> presque aussi large que long ; articles 2-3 faiblement impressionnés sur le dessus (fig. 136).

**Abdomen** (fig. 137) allongé, les sternites III-IV lisses en dehors de quelques ponctuations en arrière des métacoxae. Sternites V-VII glabres. Tergites membraneux clairs. Sternites VIII et IX : fig. 38. Tegmen (fig. 37) à lobes paraméroïdes bien développés, longuement pubescents à l'apex. Pénis (fig. 36) un peu pointu à l'apex ; baguettes paramédianes du sac interne à peine "reliées" entre elles au milieu.

**Femelle** inconnue.

**Répartition.** – Brésil (fig. 153). Les deux seuls exemplaires examinés proviennent du Mato Grosso et du Goiás, deux États de la partie centrale du Brésil.

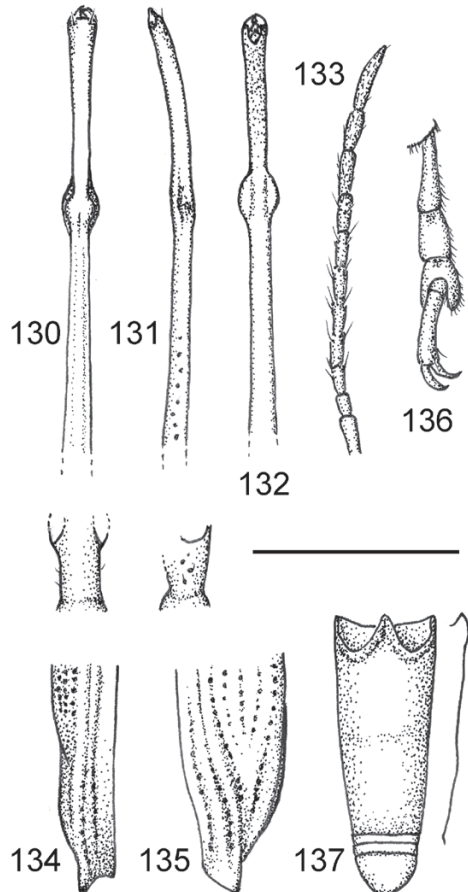


Fig. 130-137. – *Parateramocerus goianus* (Soares & Dias), ♂. – 130-132, Tête et rostre : 130, face dorsale ; 131, vue latérale gauche ; 132, face ventrale. – 133, Antenne. – 134-135, Apex élytral : 134, face dorsale ; 135, vue latérale gauche. – 136, Métatarses. – 137, Abdomen en vue ventrale et silhouette en vue latérale. Échelle : fig. 130-133, 137 : 1 mm ; fig. 134-136 : 2 mm.

**Remarque.** – L’holotype et le seul autre spécimen examinés sont tous deux en très mauvais état ; la tête de l’holotype est très abîmée, celle du spécimen du MNHN est manquante. Il n’a donc pas été possible d’examiner correctement les caractères céphaliques.

#### Genre *Teramocerus* Schoenherr, 1840

*Teramocerus* Schoenherr, 1840 : 556. Espèce-type : *Teramocerus janthinus* Boheman, 1840, par désignation originale. Syn. *Acratus* Lacordaire, 1865 : 463. Espèce-type : *Brentus suturalis* Lund, 1800, par désignation originale. Syn. MANTILLERI, 2015 : 287.  
Syn. *Proteramocerus* Kleine, 1921 : 129. Espèce-type : *Brenthus acutipennis* Boheman, 1833, par désignation originale. Syn. MANTILLERI, 2015 : 287.

Le genre *Teramocerus* se différencie du genre *Parateramocerus* par son scutellum fovéolé, par la présence chez presque toutes les espèces, dans la région proximale du sac interne, d’un sclérite impair bien sclérifié plus ou moins pointu, par l’absence de deux longues baguettes paramédianes et par les frena bien développés. Il se distingue de *Teramoceroïdes* par les mêmes caractères génitaux, mais aussi par l’absence de deux saillies paramédianes à l’apex du sternite III des mâles. Il se différencie aussi nettement du genre *Rugosacratulus*, qui ne lui est probablement que lointainement apparenté, par la tête à tempes moins allongées (moins de deux fois plus longues que les yeux), les articles antennaires 2-8 moins nettement élargis à l’apex, le scutellum profondément fovéolé, les protarses jamais plus longs que les métatarses ; les témones du pénis sont aussi plus courts que la partie distale. Les autres caractères diagnostiques du genre ne sont pas repris ici. On se reportera à MANTILLERI (2015) pour plus de détails concernant ceux-ci.

#### *Teramocerus eletus* Kleine, 1927

*Teramocerus eletus* Kleine, 1927a : 446.  
Syn. *Proteramocerus aeneus* Soares & Dias, 1971 : 47. Syn. MANTILLERI, 2015 : 297.  
Syn. *Proteramocerus oliveirai* Soares & Dias, 1971 : 65. Syn. MANTILLERI, 2015 : 297.

J’ai eu récemment la possibilité d’examiner la femelle allotype de *Proteramocerus oliveirai* Soares & Dias, 1971, synonyme de *T. eletus* Kleine, 1927. Je peux donc préciser la description de ce sexe qui m’était resté inconnu jusqu’ici.

**Matériel examiné.** – **Brésil.** ♀ allotype de *P. oliveirai*, Amazonas, rio Javari, Estirao do Equador, X.1958, F. M. Oliveira (MNRJ).

**Caractères diagnostiques de la femelle.** – Habitus : fig. 16. Longueur de l’extrémité des élytres à l’apex du pronotum : 11,8 mm ; longueur de l’extrémité du rostre à l’apex des élytres : 16,8 mm ; largeur au niveau des calus huméraux : 1,8 mm. Corps vert jaunâtre métallique, les pattes, les antennes et la suture élytrale brun-rouge.

Dent apicale des élytres grande, effilée, rebordée, aplatie dorso-ventralement. Métotarses 5 pas pubescents en dessous. Métatarses 1 allongés, au moins aussi longs que les métatarses 2 et 3 réunis, avec une légère carène longitudinale sur la face supérieure. Tergite VIII : fig. 60. Épipleurites VIII : fig. 58. Vagin (fig. 59) non sclérifié. Spermathèque : fig. 67.

**Remarque.** – Dans la clé d’identification donnée par MANTILLERI (2015), la femelle de *T. eletus* vient se placer avec celle de *T. pulchellus* Perroud, 1853. Elle s’en distingue par la présence de la légère carène sur la face supérieure des métatarses 1.

#### *Teramocerus pulcher* (Soares & Dias, 1971)

*Proteramocerus pulcher* Soares & Dias, 1971 : 67.

**Matériel examiné.** – **Guyane française.** 1 ♂, massif du Mitaraka, ca. 2°14’N - 54°27’O, 25.II-26.III.2015, La Planète Revisitée – MNHN / PNI Guyane 2015 (APA-973-1).

La dissection des genitalia, conservés dans un micro-tube, avec l'examen du sclérite proximal du sac interne permet de nommer sans ambiguïté ce spécimen récolté au cours d'une mission récente du MNHN. *Teramocerus pulcher* n'était jusqu'à présent connu que du Brésil, au niveau du bassin Amazonien (MANTILLERI, 2015). Ce signalement à l'extrême sud-ouest de la Guyane française est une donnée nouvelle pour ce territoire et représente la localité la plus septentrionale pour l'espèce.

***Teramocerus rileyi* n. sp.**

HOLOTYPE : ♂, Panama, Canal Zone, Cardenas village [9°00'N - 79°34'O], 17-18.V.1980, E. Riley & LeDoux, prép. micro. n°AM-TAMU00001 (TAMU).

PARATYPE : 1 ♂, Panama, Canal Zone, 5 mi. NW Gamboa [9°10'N - 79°45'O], 20.VI.1970, H. P. Stockwell, on tree trunk, prép. micro. n°AM00360 (MNHN EC6949).

**Description du mâle.** – Habitus : fig. 17. Longueur de l'extrémité des élytres à l'apex du pronotum : 17,6-19,5 mm ; longueur de l'extrémité du rostre à l'apex des élytres : 31,1-33,5 mm ; largeur au niveau des calus huméraux : 2,5-2,7 mm. Brun à brun rougeâtre, les élytres à reflets bronzés.

*Tête* (fig. 138-139). Prorostre lisse, non sillonné, échancré à l'apex, à peine caréné sur les côtés à la base. Méso-rostre faiblement élevé, sillonné longitudinalement. Méta-rostre non sillonné, avec une faible carène longitudinale médiane, à peine caréné sur les côtés. Yeux très gros, saillants, aussi longs ou un peu plus longs que les tempes. Tête lisse, microréticulée, un peu sillonnée longitudinalement entre les yeux, la constriction collaire assez nette. Côtés de la tête avec deux ou trois gros pores sensoriels le long du bord postérieur des yeux, le dessous avec deux rangées paramédianes de pores sensoriels le long des yeux ; fovéole post-oculaire très profonde. Côtés du méta-rostre (fig. 139) presque lisses, dessous avec de très abondants petits pores sensoriels disposés sans ordre, fortement pileux, présents presque jusqu'à l'avant du prorostre ; pas de carène longitudinale médiane. Antennes à segments 2-8 nettement plus longs que larges, subconiques, à longues soies ; article 9 1,3× plus long que le 8.

*Thorax.* Pronotum lisse, très finement microréticulé. Apex des élytres (fig. 140-141) en forte pointe aplatie dorso-ventralement, formée par les interstries 1, 3, 9 et 10, l'interstrie 3 fortement caréniforme sur la déclivité apicale et sur la dent. Stries 3-8 visibles sous forme de lignes de ponctuations nettes. Prosternum non ou à peine ponctué en avant des procoxae, non déprimé. Mésothorax avec quelques ponctuations sur les côtés ; mésanépisternes et mésépimères avec quelques grosses ponctuations ; métanépisternes avec une rangée de fines ponctuations. Pattes à méso- et métacoxae avec quelques soies ; trochanters avec une soie raide ; fémurs pédonculés, non déprimés sur les côtés, glabres sauf les métafémurs avec des soies raides sous le pédoncule ; tibias pileux sur leur arête interne. Premier article tarsal (fig. 142) aussi long ou un peu plus court que les articles 2-3 réunis ; article 2 plus long que large ; mésotarse 5 pas fortement pubescent sur sa face ventrale ; métatarse 1 (fig. 142) non caréné.

*Abdomen* (fig. 143) à sternites III-IV non ponctué, non déprimés, avec une zone médiane sur le sternite III un peu aplatie et présentant de faibles "granules" sétifères. Sternites V-VII non ponctué. Sternites VIII et IX : fig. 44. Tegmen (fig. 43) à lobes paraméroïdes allongés, arrondis et pubescents à l'apex. Pénis (fig. 42) pointu à l'apex, à témones très courts ; sac interne avec un fort sclérite proximal impair de forme très particulière (fig. 42) et, plus distalement, un petit amas sclérifié ; frena bien développés, allongés.

*Femelle* inconnue.

**Répartition.** – Connu uniquement du Panama (fig. 150), *T. rileyi* n. sp. est peut-être plus largement répandu en Amérique centrale.

**Remarque.** – Bien que la forme et la pilosité du rostre puissent rappeler les espèces du genre *Teramoceroïdes*, cette nouvelle espèce fait bien partie du genre *Teramocerus* dont elle possède la synapomorphie caractéristique, à savoir la présence d'un sclérite impair pointu, bien sclérifié, dans la partie proximale du sac interne de l'édéage. Il est en revanche difficile de préciser ses affinités avec les autres espèces de *Teramocerus*, mais les nombreuses soies sous le rostre et la forme de l'apex élytral (en large dent aplatie) pourraient plaider pour un

rapprochement avec *T. eletus*, du bassin Amazonien. L'absence d'abondante pilosité sous les mésotarses 5 ainsi que de carène sur les métatarses 1 permet de différencier facilement *T. rileyi* n. sp. de cette dernière espèce.

***Teramocerus asklerosis* n. sp.**

HOLOTYPE : ♂, Guyane française, montagne des Chevaux [4°44'32"N - 52°25'53"O], 7.XII.2013, GemLight, P.-H. Dalens ; ex-collection A. Mantilleri ; prép. micro. n°AM00357 ; *Teramocerus asklerosis* n. sp., A. Mantilleri det. 2015 ; holotype ; MNHN EC4840.

PARATYPE : ♂, Brésil, Pará, Paragominas [3°00'S - 47°21'O], Faz. Cachoeira do rio Vermelho, 15-18.I.1991 ; Brésil, Pará, J. Dias ; Armadilho Malayse ; prép. micro. n°AM-MPEG00002 (MPEG).

**Description du mâle.** – Longueur de l'extrémité des élytres à l'apex du pronotum : 12,2-14,5 mm ; longueur de l'extrémité du rostre à l'apex des élytres : 19,5-24,4 mm ; largeur au niveau des calus huméraux : 2,0 mm. Élytres (sauf les deux stries suturales brun-rouge), pronotum, chez le paratype la tête vert métallique, le reste du corps brun rougeâtre. Fig. 15.

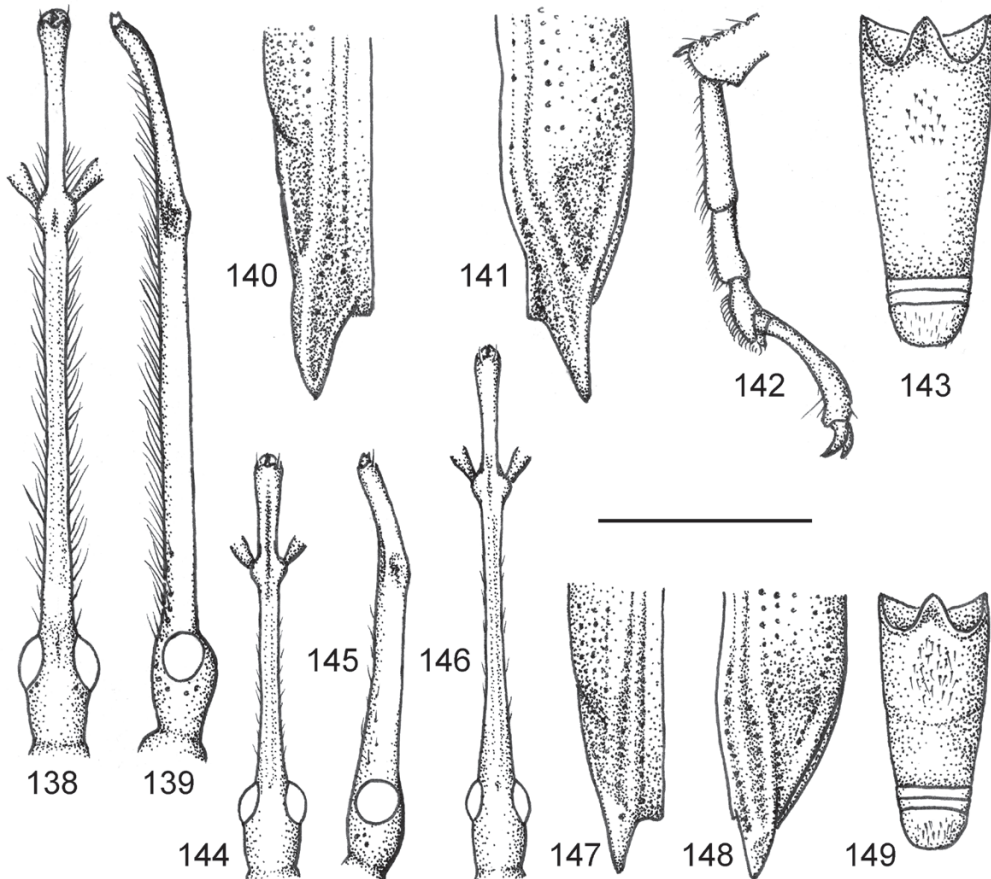


Fig. 138-149. – *Teramocerus* spp., ♂, détails morphologiques. – 138-143, *T. rileyi* n. sp. : 138-139, tête et rostre (138, face dorsale ; 139, côté gauche) ; 140-141, apex élytral (140, vue dorsale ; 141, vue latérale gauche) ; 142, métatarses, vue latérale ; 143, abdomen en vue ventrale. – 144-149, *T. asklerosis* n. sp. : 144-146, tête et rostre (144, holotype, face dorsale ; 145, holotype, côté gauche ; 146, paratype, face dorsale) ; 147-148, apex élytral (147, vue dorsale ; 148, vue latérale gauche) ; 149, abdomen en vue ventrale. Échelle : fig. 138-139, 143-146, 149 : 1 mm ; fig. 140-142, 147-148 : 2 mm.

*Tête* (fig. 144-146). Prorostre sillonné longitudinalement chez l'holotype (fig. 144), presque sans sillon distinct chez le paratype (fig. 146). Mésorostre faiblement élevé, sillonné longitudinalement (holotype) ou à peine sillonné (paratype). Métarostre non sillonné, avec une faible carène médiane, caréné sur les côtés. Yeux à peine plus courts que les tempes. Tête lisse, microréticulée, à faible fovéole interoculaire ; constriction collaire assez bien marquée. Côtés de la tête avec un ou deux pores sensoriels, le dessous avec deux rangées paramédianes de pores sensoriels débutant en avant de la fovéole post-oculaire médiane. Côtés du métarostre (fig. 145) presque lisses, le dessous avec deux rangées de pores sensoriels espacés, faiblement pileux, n'atteignant pas le mésorostre ; pas de carène longitudinale médiane. Antennes à segments 2-8 nettement plus longs que larges, subconiques, à soies très éparées ; article 9 moins de 1,5× plus long que le 8.

*Thorax*. Pronotum non ponctué, microréticulé. Apex des élytres (fig. 147-148) formant une pointe apicale forte constituée par les interstries 9 et 11, les côtés externes de cette dent verticaux. Prosternum ponctué en avant des procoxae, la zone en avant de celles-ci non déprimée. Mésothorax avec quelques ponctuations sur les côtés ; mésanépisternes et mésépimères à grosses ponctuations bien distinctes. Métanépisternes avec une rangée de ponctuations. Pattes à méso- et métacoxae avec quelques soies ; trochanters avec une soie raide ; fémurs pédonculés, non déprimés sur les côtés, glabres. Tibias pileux sur leur arête interne. Premier article tarsal plus court que les articles 2-3 réunis ; article 2 plus long que large ; premier article métatarsal non caréné sur le dessus.

*Abdomen* (fig. 149) à sternites III-IV non ponctué excepté en arrière des métacoxae. Sternite III faiblement déprimé à aplati au milieu, pubescent. Sternites VIII et IX : fig. 41. Tegmen (fig. 40) à lobes paraméroïdes arrondis à l'apex, avec quelques soies. Pénis (fig. 39) modérément effilé ; sac interne sans

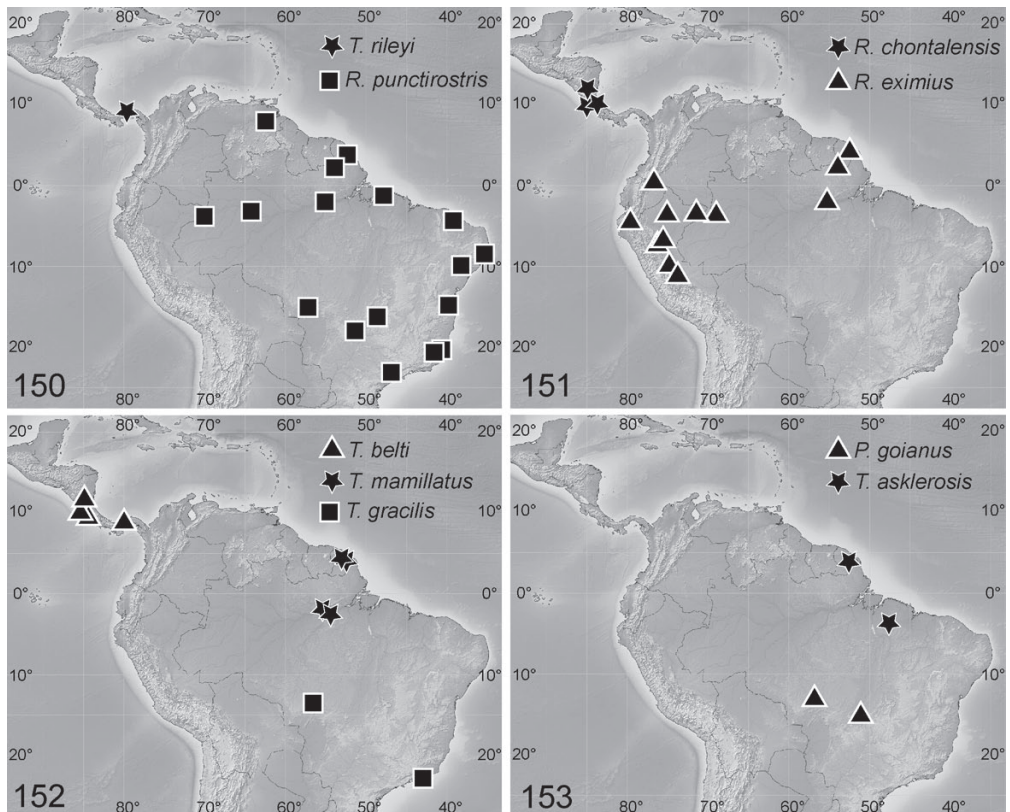


Fig. 150-153. – Cartes de la répartition connue de quelques Acratini. – 150, *Teramocerus rileyi* n. sp. et *Rugosacratius punctirostris* (Schoenherr). – 151, *Rugosacratius chontalensis* (Sharp) et *R. eximius* n. sp. – 152, *Teramoceroïdes belti* (Sharp), *T. mamillatus* (Meyer) et *T. gracilis* (Boheman). – 153, *Parateramocerus goianus* (Soares & Dias) et *Teramocerus asklerosis* n. sp.

sclérite proximal impair en crochet ; plus distalement, présence de nombreuses petites sclérifications “épineuses”. Frena très développés.

*Femelle* inconnue.

**Étymologie.** – Du grec *sklérôsis* (durcissement), et du privatif “*a*”, se rapportant à l’absence de sclérite impair dans la partie proximale du sac interne de l’édéage.

**Répartition.** – Fig. 153. *Teramocerus asklerosis* n. sp. n’est pour l’instant connu que du nord du Brésil et de Guyane française.

**Remarque.** – Dans la clé d’identification donnée par MANTILLERI (2015 : 319), si l’on considère que la dent élytrale apicale est un peu rebordée et aplatie, *T. asklerosis* n. sp. vient se placer avec *T. pulchiformis* Mantillieri, 2015, et *T. pulcher* (Soares & Dias, 1971). Il s’en différencie nettement par la zone pileuse du sternite III, celui-ci étant glabre chez ces deux dernières espèces et, bien évidemment, par l’absence de sclérite impair dans la zone proximale du sac interne de l’édéage, caractère unique pour l’instant au sein des *Teramocerus*. L’absence de ce sclérite doit très probablement être considérée comme une perte secondaire.

#### ANALYSE PHYLOGÉNÉTIQUE

L’analyse phylogénétique a été menée en utilisant la matrice de caractères proposée lors de l’étude du genre *Teramocerus* (MANTILLERI, 2015), avec cependant deux modifications dans la liste des caractères pris en compte : le caractère 2 (longueur des tempes par rapport aux yeux) a été modifié et présente ici trois états au lieu de deux, et un caractère (le n°22) concernant la longueur des protarses par rapport aux métatarses a été ajouté (tableau I).

1. Corps au moins en partie à reflets métalliques (1) ou sans reflets métalliques (0).
2. Tempes des mâles majeurs plus de deux fois plus longues que les yeux (2), entre 1 et 2 fois plus longues que les yeux (1) ou plus courtes que les yeux (0).
3. Ensemble, méso- et métarostre du mâle plus de 1,5× plus long que le prorostre (1) ou moins de 1,5× la longueur du prorostre (0).
4. Partie longitudinale médiane du métarostre des mâles un peu élevée, formant une carène basse (1) ou cette partie du métarostre sans carène (0).
5. Côtés du métarostre des mâles avec des pores sensoriels bien distincts (1) ou pores sensoriels à peine visibles ou manquants (0).
6. Fovéole interoculaire bien distincte (1) ou faible à manquante (0).
7. Dessous du rostre avec de longues soies (1) ou soies plus courtes ou absentes (0).
8. Dessous du rostre avec des pores sensoriels atteignant au moins la base du prorostre (1) ou pores sensoriels n’atteignant pas la base du prorostre (0).
9. Dessous du métarostre avec une carène longitudinale médiane (1) ou sans carène (0).
10. Antennomères 9-11 bien plus longs que larges (1) ou à peine plus longs que larges (0).
11. Scutellum fovéolé (1) ou non fovéolé (0).
12. Scutellum inséré entre les élytres à son apex (1) ou non inséré entre les élytres à son apex (0).
13. Élytres avec un trou ou une profonde dépression à la base au niveau de l’insertion sur le mésonotum (1) ou élytres sans trou ni dépression (0).
14. Stries 1-2 bien distinctes (1) ou seule la strie 1 bien marquée (0).
15. Apex des élytres des mâles avec une dent rebordée plus ou moins aplatie (2), avec une dent non rebordée et cylindrique (1) ou sans dent (0).
16. Dent élytrale des femelles arrondie à son apex (2), pointue ou anguleuse (1) ou absente (0).
17. Pattes sombres (1) ou brun rougeâtre (0).
18. Métacoxae des mâles pubescentes (1) ou avec seulement 1 ou 2 soies (0).
19. Fémurs des mâles pédonculés (1) ou non pédonculés (0).
20. Métafémurs foliacés à la base (1) ou non foliacés à la base (0).
21. Premier article tarsal plus long que large (1) ou pas plus long que large (0).
22. Protarses plus longs que les métatarses (1) ou métatarses plus longs ou aussi longs que les protarses (0).
23. Métatarses 1 des mâles plus longs que les métatarses 2-3 pris ensemble (1) ou plus courts (0).

24. Tarsomères 2-3 impressionnés sur leur face supérieure (1) ou sans impression sur leur face supérieure (0).
25. Dessous des mésotarses 5 des mâles pubescent (1) ou au plus avec quelques longues soies (0).
26. Métatarses 1 des mâles nettement carénés sur leur face supérieure (1) ou non carénés (0).
27. Sternites III-IV des mâles avec une dépression profonde et assez étroite (2), avec une dépression peu profonde et large (1) ou non déprimés (0).
28. Sternites III-IV des mâles pubescents (1) ou presque glabres (0).
29. Abdomen des mâles avec deux petites saillies paramédianes à l'apex du sternite III (1) ou sans saillies paramédianes (0).
30. Sternites V-VI lisses (0) ou ponctués (1).
31. Sternite VII presque complètement lisse (0) ou avec des ponctuations bien marquées (1).
32. Tergites membraneux de l'abdomen sombres (1) ou clairs (0).
33. Tegmen à lobes paraméroïdes bien développés (1) ou réduits (0).
34. Pénis très effilé à l'apex (2), modérément pointu (1) ou arrondi (0).
35. Témones plus courts que la partie distale du pénis (1) ou aussi longs à plus longs (0).
36. Sac interne avec un unique gros sclérite pointu (1) ou sclérite(s) du sac interne différemment conformé(s) (0).
37. Base du sclérite unique avec un trou dans lequel débouche le canal éjaculatoire (3), élargie mais sans trou (2), ni élargie ni trouée (1) ou sclérite unique absent (0).
38. Sclérite proximal du sac interne en crochet tronqué à l'apex (2), en crochet effilé à l'apex (1) ou de forme différente (0).
39. Partie antérieure du sac interne avec de nombreux spicules assez gros disposés en groupe serré (2), avec quelques gros spicules (1) ou sans gros spicules (0).
40. Frena bien développés (1) ou réduits à absents (0).
41. Femelles présentant un vagin au moins partiellement sclérifié (1) ou vagin complètement membraneux (0).

Tableau I. – Matrice utilisée pour le traitement informatique des données avec le logiciel PAUP 4b10 (SWOFFORD, 2001).

	1	1	2	3	4
	1	1	1	1	1
<i>Nemocephalus monilis</i> (Fabricius, 1787)	0010111101	0000010010	1000000001	1001000011	0
<i>Teramocerus amazonicus</i> Mantilleri, 2015	1110000001	1001110110	1001002000	0011113001	?
<i>Teramocerus appendiculatus</i> (Soares & Scivittaro, 1972)	1111111101	10012?0110	1011111100	0011113101	?
<i>Teramocerus asklerosis</i> n. sp.	1111000001	10012?0110	1001001100	00111?0?01	?
<i>Teramocerus badius</i> Boheman, 1840	0110000001	1001120010	1001000100	0011112101	0
<i>Teramocerus belti</i> Sharp, 1895	1111011101	0001211010	1011010010	10000?0000	0
<i>Teramocerus brulei</i> Mantilleri, 2015	1010001101	1001110110	1001001000	0011113001	0
<i>Proteramocerus chontalensis</i> (Sharp, 1895)	0211110011	0001200011	1111000001	1010000001	0
<i>Teramocerus curtirostris</i> Mantilleri, 2015	1000001001	1001111110	1001002000	0011113001	1
<i>Teramocerus eletus</i> Kleine, 1927	1011011101	1001210110	1001111000	0011112121	0
<i>Rugosacratulus eximius</i> n. sp.	1211110011	0001200011	1111000001	1010000001	0
<i>Acratus exquisitus</i> Kleine, 1927	0210100001	0101110000	1001000000	0011000000	0
<i>Proteramocerus filum</i> (Sharp, 1895)	1110010001	01112?1010	1011000000	1000000000	?
<i>Teramocerus forficula</i> (Soares & Scivittaro, 1972)	1011101101	1001110110	1001002100	0011113021	1
<i>Neacratulus glabratus</i> (Lund, 1800)	0110110010	0001001001	0001001100	1110000000	0
<i>Proteramocerus goianus</i> Soares & Dias, 1971	11?11?0001	00012?0010	1001000000	0011100000	?
<i>Teramocerus gracilis</i> (Boheman, 1833)	0111011101	1001211010	1011000010	010010?000	0
<i>Teramocerus janthinus</i> Boheman, 1840	1111001001	1001120010	1001000000	0011112101	0
<i>Teramocerus mamillatus</i> Meyer, 1959	1111011101	1001211010	1011000010	0002100000	0
<i>Teramocerus opacus</i> (Perty, 1832)	0111000001	1001121010	1001000000	0011112101	0
<i>Acratus plumirostris</i> (Boheman, 1840)	0210001101	0101000001	1001000000	0010000000	0
<i>Teramocerus pulchellus</i> Perroud, 1853	1111010101	1001211110	1001001100	0012112211	0
<i>Teramocerus pulcher</i> (Soares & Dias, 1971)	1111110001	10012?0110	1001001100	0012112211	?
<i>Teramocerus pulchiformis</i> Mantilleri, 2015	1111110101	10012?0110	1001002000	0012112111	?
<i>Teramocerus punctirostris</i> Schoenherr, 1840	0211101101	0001000010	1111000101	1000000000	0
<i>Teramocerus rileyi</i> n. sp.	1011001101	10012?1110	1001000000	0011111101	?
<i>Teramocerus suturalis</i> (Lund, 1800)	1111000001	1001210010	1001001000	0011111101	0
<i>Acratus tarsatus</i> (Gyllenhal, 1833)	0110100001	0111001010	0001000000	0010000001	0
<i>Teramocerus trichostemon</i> Mantilleri, 2015	1000100001	10011?0110	1001001100	0011113001	?
<i>Teramocerus zellibori</i> (Soares & Dias, 1971)	1?1?1?11?1	10012?0110	1011010000	0011112101	?

La recherche de l'arbre le plus parcimonieux, les caractères étant pondérés selon leur RC (tableau II), a produit un seul arbre de 43,3953 pas (CI = 0,5524 ; RI = 0,8077), présenté en fig. 154. Seuls les nœuds ayant une valeur de *bootstrap* supérieure à 50 % sont présentés.

Tableau II. – Poids attribué à chaque caractère en fonction de leur valeur de RC (Rescaled Consistency Index) (en gras le numéro du caractère, en maigre son poids).

<b>1</b>	<b>2</b>	<b>3</b>	<b>4</b>	<b>5</b>	<b>6</b>	<b>7</b>	<b>8</b>	<b>9</b>	<b>10</b>	<b>11</b>
0,1667	0,2800	1,0000	0,1200	0,1026	0,2778	0,1385	0,1385	0,2500	1,0000	0,4500
<b>12</b>	<b>13</b>	<b>14</b>	<b>15</b>	<b>16</b>	<b>17</b>	<b>18</b>	<b>19</b>	<b>20</b>	<b>21</b>	<b>22</b>
0,3333	0,0000	1,0000	0,4167	0,5714	0,0740	1,0000	0,2500	0,1111	1,0000	1,0000
<b>23</b>	<b>24</b>	<b>25</b>	<b>26</b>	<b>27</b>	<b>28</b>	<b>29</b>	<b>30</b>	<b>31</b>	<b>32</b>	<b>33</b>
0,4375	1,0000	1,0000	0,3333	0,1558	0,0357	1,0000	1,0000	0,2222	0,0000	1,0000
<b>34</b>	<b>35</b>	<b>36</b>	<b>37</b>	<b>38</b>	<b>39</b>	<b>40</b>	<b>41</b>			
0,4091	0,4444	1,0000	0,5077	0,5926	0,2500	0,1562	1,0000			

L'ajout de *Teramocerus asklerosis* n. sp. et de *T. rileyi* n. sp. dans le jeu de données ne remet pas du tout en cause la monophylie du genre *Teramocerus* tel que redéfini par MANTILLERI (2015) (valeur de bootstrap de 91 %), malgré les caractères très particuliers présentés par ces deux espèces. La topologie même de l'arbre à l'intérieur du clade *Teramocerus* est aussi inchangée. En revanche, la position à l'intérieur du genre des deux nouvelles espèces reste pour l'instant énigmatique.

La monophylie du genre *Teramoceroides* n. gen. semble aussi confirmée, avec un soutien au nœud de 76 %. *T. belti* est probablement l'espèce la plus exobasale, tandis que *T. gracilis* et *T. mamillatus* seraient espèces-sœurs. Il est intéressant de constater que cette topologie coïncide avec la répartition géographique des trois espèces : *T. belti* se trouve seule en Amérique centrale, tandis que les deux autres sont originaires du Brésil et pays voisins ; *T. mamillatus* se trouve dans la partie nord du bassin Amazonien et *T. gracilis* dans la partie centrale et orientale du Brésil, leurs aires de répartition ne semblant pas se chevaucher. Le branchement de "*Proteramocerus*" *filum* en groupe-frère des *Teramoceroides* est en revanche assez inattendu mais ce résultat doit être pris avec de grandes précautions, la valeur de soutien du nœud étant faible (57 %) et de nombreux caractères différenciant ces taxa (en particulier la présence d'un "trou" à la base de chaque élytre au niveau de l'insertion sur le mésonotum chez "*P.*" *filum*, ainsi que la forme des sclérites du sac interne). L'inclusion dans le jeu de données d'autres Acratini plus proches de "*P.*" *filum* changerait certainement sa position dans l'arbre phylogénétique.

Le genre *Rugosacratius* n. gen. semble monophylétique mais le soutien au nœud est assez faible (61 %). *R. punctirostris* se trouve en position de groupe-frère de *R. chontalensis* et de *R. eximius* n. sp.

## CONCLUSION

Peu à peu, les relations de parenté à l'intérieur des Acratini s'éclaircissent, des groupes monophylétiques se dessinant au fur et à mesure de l'étude des diverses espèces et de l'analyse de leurs caractères morphologiques. Ce travail est complexe car des phénomènes de convergence semblent avoir mené diverses lignées de cette tribu à présenter des formes générales similaires sans être pour autant apparentées. Il semble que cela soit le cas pour le très fort allongement du métarostre des mâles présenté par plusieurs taxa, ou encore pour la présence d'expansions dentiformes à l'apex des élytres. La recherche de caractères morphologiques variant de façon

indépendante de ces phénomènes de convergence pourra peut-être nous éclairer sur la phylogénie de l'ensemble de la tribu. Enfin, une analyse des séquences d'ADN pour quelques gènes pourrait apporter des éléments décisifs dans la résolution de ce problème.

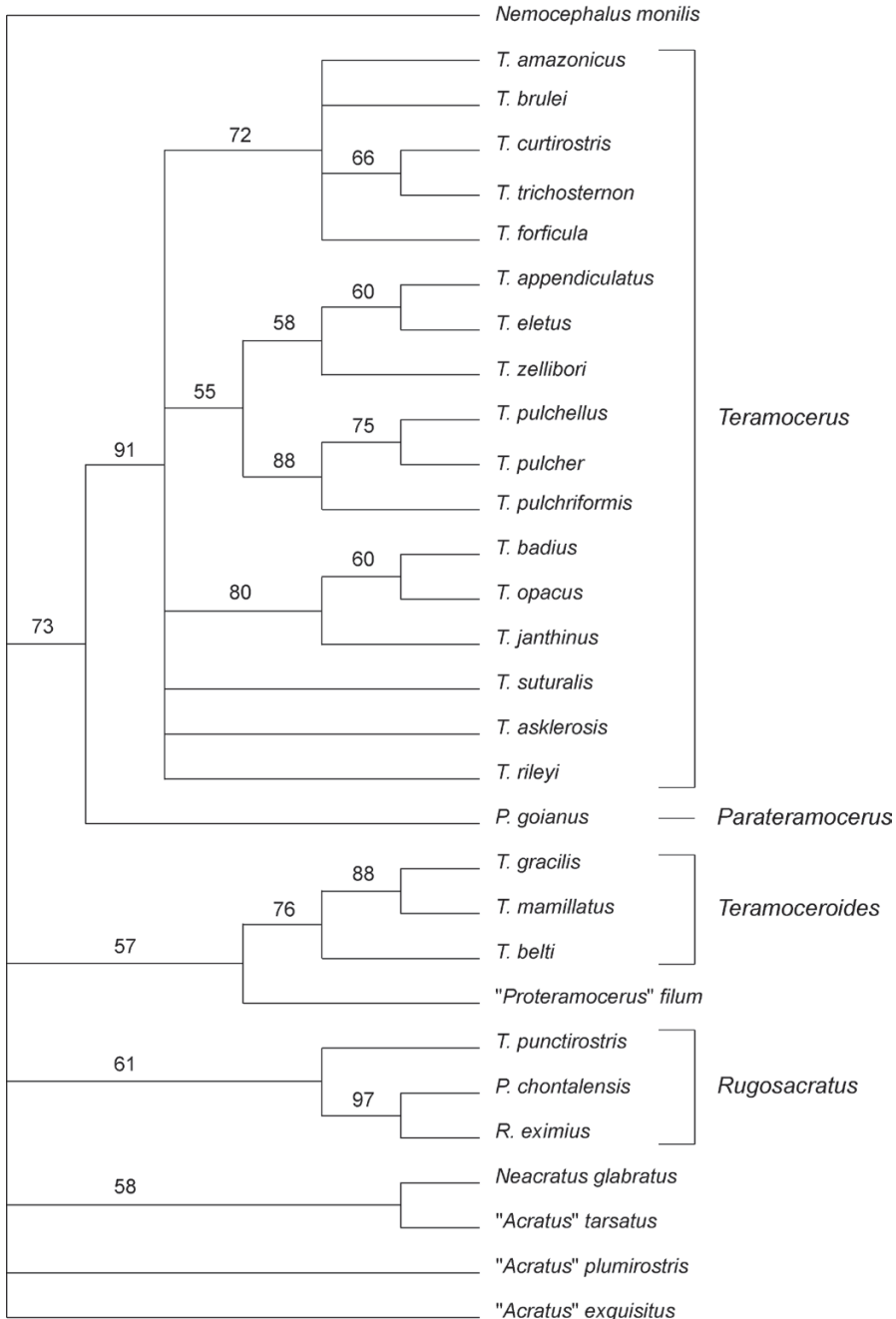


Fig. 154. – Cladogramme le plus parcimonieux (43,3953 pas ; Consistency Index = 0,5524 ; Retention Index = 0,8077) obtenu après pondération des caractères en fonction de leur valeur de RC (Rescaled Consistency Index). Les nombres aux nœuds correspondent aux valeurs de *bootstrap* (valeur indiquée si celle-ci est supérieure à 50 %).

REMERCIEMENTS. – Cette étude n'aurait pu être possible sans l'aide de tous les responsables des diverses institutions citées plus haut, qui m'ont fait parvenir les types nécessaires ainsi qu'un riche matériel identifié ou non. Merci aussi aux membres de la *Société entomologique Antilles-Guyane*, en particulier Stéphane Brûlé, Pierre-Henri Dalens, Eddy Poirier et Julien Touroult, qui donnent beaucoup de leur temps et de leur énergie afin que la faune guyanaise soit mieux connue. Une partie du matériel étudié ici a été collecté grâce au programme "La Planète revisitée" (MNHN et Pro-Natura international), financé par FEDER, fonds Shell, Conseil Régional de Guyane, DEAL, Conseil Général de Guyane, MENESR, en collaboration avec le Parc Amazonien de Guyane et la Région Guyane.

## AUTEURS CITÉS

- BLACKWELDER R. E., 1947. – Checklist of the coleopterous insects of Mexico, Central America, The West Indies and South America. Part 5. *Bulletin of the United States National Museum*, **185** : 771-777.
- CARAYON J., 1969. – Emploi du noir chlorazol en anatomie microscopique des insectes. *Annales de la Société entomologique de France*, (N. S.) **5** : 179-193.
- KJER K. M., SWIGONOVA Z., LAPOLLA J. S. & BROUGHTON R. E., 2007. – Why weight? *Molecular Phylogenetics and Evolution*, **43** : 999-1004.
- KLEINE R., 1921. – Brenthidenstudien. *Entomologische Blätter*, **17** (7-9) : 124-131.
- 1927a. – Novos Generos e Espécie da Fam. Brenthidae (Coleopt.) da Zona Neotropica. *Revista do Museu Paulista*, **15** : 421-542.
- 1927b. – *Coleopterorum Catalogus. Pars 89. Brenthidae*. Editio secunda. Berlin : W. Junk, 94 p.
- 1927c. – Über die Brenthidenfauna von Costa Rica. *Stettiner Entomologische Zeitung*, **88** : 288-296.
- 1938. – Coleoptera. Fam. Brenthidae (revision). *Genera Insectorum*, **207** : 1-197.
- 1952. – Brenthidae (p. 58-61). In : Titschak E., *Beiträge zur Fauna Perus*, **3**. Jena : G. Fischer.
- LACORDAIRE J. Th., 1865. – Histoire naturelle des Insectes. Genera des Coléoptères, 7. Curculionides (suite), Scolytides, Brenthides, Anthribides et Bruchides. Paris : Librairie Roret, 620 p.
- MANTILLERI A., 2014a. – Révision et phylogénie du genre *Nemocephalus* Guérin-Méneville 1827 (Coleoptera : Curculionoidea : Brentidae). *Annales de la Société entomologique de France*, (N. S.) **50** (1) : 111-128.
- 2014b. – Synonymies et désignations de lectotypes pour des taxa du genre *Teramocerus* (Coleoptera, Brentidae, Acratini). *Bulletin de la Société entomologique de France*, **119** (4) : 431-432.
- 2015. – What is *Teramocerus* Schoenherr, 1840? A new definition from revision and phylogeny of the group (Insecta, Coleoptera, Brentidae). *Zoosystema*, **37** (2) : 285-322.
- MEYER C. R., 1959. – Duas novas espécies de Brêntidas do Brasil (Col., Brentidae). *Revista Brasileira de Biologia*, **19** (3) : 299-302.
- SCHOENHERR C. J., 1833. – *Genera et species curculionidum, cum synonymia hujus familiae. Species novae aut hactenus minus cognitae, descriptionibus a Dom. L. Gyllenhal, C. H. Boheman, et entomologicis aliis illustratae*. Vol. **1** (1). Parisiis : Roret, xv + 381 p.
- 1840. – *Genera et species curculionidum, cum synonymia hujus familiae. Species novae aut hactenus minus cognitae, descriptionibus a Dom. Leonardo Gyllenhal, C. H. Boheman, et entomologicis aliis illustratae*. Vol. **5** (2). Paris : Roret ; Leipzig : F. Fleischer, 465-978.
- SCHÖNFELDT H. VON, 1908. – Coleoptera. Fam. Brenthidae. *Genera Insectorum*, **65** : 1-88.
- 1910. – Brenthidae. In : Schenkling S. (éd.), *Coleopterorum Catalogus. Pars 7*. Berlin : W. Junk, 57 p.
- SFORZI A. & BARTOLOZZI L., 2004. – Brentidae of the world (Coleoptera, Curculionoidea). *Monografie del Museo Regionale di Scienze Naturali, Torino*, **39** : 976 p.
- SHARP D., 1895. – Class Insecta. Order Coleoptera. Tribe Rhynchophora. Fam. Brenthidae (p. 1-80). In : Sharp D., Blandford F. Z. S. & Jordan K. (éds), *Biologia Centrali-Americana*, **4** (6) : vi + 396 p.
- SOARES B. A. M. & DIAS S. M., 1971. – Contribuição ao estudo des espécies do gênero *Proteramocerus* Kleine, 1921 (Coleoptera, Brentidae). *Revista Brasileira de Entomologia*, **15** (7) : 41-74.
- SWOFFORD D. L., 2001. – PAUP\*. Phylogenetic Analysis Using Parsimony (\* and Other Methods). Version 4. Sinauer Associates, Sunderland, Massachusetts.
- WATROUS L. E. & WHEELER Q. D., 1981. – The outgroup comparison method of character analysis. *Systematic Zoology*, **30** : 1-11.